



ELSEVIER

Scopus如何让科研变得更轻松

樊亚芳

中国科学技术大学

2019年4月23日



培训内容

- Scopus概览
- Scopus的优势
- Scopus助力科学研究
 - 选题和开题
 - 追踪研究领域最新进展
 - 寻找适合的期刊投稿
- 小结

Scopus 概览

Scopus 是什么?

- Scopus于**2004年**推出。
- Scopus是**全球最大的**同行评议科研文章**摘要和引文数据库**，拥有多种工具，能够追踪、分析和可视化研究成果
- 文献记录最早可回溯至**1788年**。

Scopus®

- **每日更新**的Scopus帮助科研人员时刻把握研究领域前沿进展
- Scopus为机构和学科排名提供客观、权威的底层数据和技术实现，**QS和泰晤士**高等教育排名等。

摘要和引文数据库是？



以文献及文后的参考文献为信息对象建立的一个规范的数据库，不直接提供全文阅览（依据客户全文库购买情况）

可对某领域的文献进行检索，通过文献引用关系了解研究者在某领域的研究工作，该领域学术研究的历史渊源，并追踪学科的发展动态和最新进展



除了可揭示各种类型文献之间的相互引证关系，还可以作为一种有效的科研管理及统计分析工具，获取机构、学科、学者、期刊等多种类型统计数据。

Archives of Biochemistry and Biophysics 433 (2006) 150–176

Contents lists available at ScienceDirect

Archives of Biochemistry and Biophysics

Journal homepage: www.elsevier.com/locate/yabbi

Comparison of NMR structural and dynamics features of the urea and guanidine-denatured states of GED

Jeetender Chugh^a, Shilpy Sharma^a, Ramakrishna V. Hosur^a*

^aDepartment of Chemical Sciences, Tata Institute of Fundamental Research, C. Shivajinagar Road, Mumbai 400005, India

ARTICLE INFO

Article history:
Received 15 September 2006
Received in revised form 20 October 2006
Available online 9 November 2006

Keywords:
Circular dichroism
NMR
Resonance assignment
Self-assembly
Urea-denatured state

ABSTRACT

Denatured states of proteins, the starting points as well as the intermediates of folding in vivo, play important roles in biological functions. We describe here urea and guanidine denatured states of a protein, the urea-induced state of GED (urea-GED) and guanidine-induced state of GED (guanidine-GED) of protein revealed by NMR data. These are compared with NMR data for guanidine induced denaturation reported earlier. The unfolding characteristics of the two cases are measured by the optical properties and specifically different urea unfolding proceeding via an intermediate. The structural and motional characteristics, determined by NMR, of the two denatured states are also strikingly different. The urea-denatured state shows a combination of α - and β -preference in contrast to the entirely β -preference in the guanidine-denatured state. Higher ¹⁵N resonance relaxation rates suggest higher folding propensity in the urea-denatured state. The implications of these to GED folding are discussed. © 2006 Elsevier Inc. All rights reserved.

Denatured states of proteins are beginning to be recognized as important entities in the biological world—a denatured state of a protein is defined as the lowest energy ‘non-native’ state under a given set of conditions [1]. Inside a living cell, the environmental conditions like local intracellular ion concentrations, interaction with various ligands etc. can vary significantly from organelle to organelle [2], and even within the same organelle there can be variations due to signaling processes and interactions with different molecules. All these processes tightly regulate the translational and post-translational processes which decide the fate of the newly synthesized polypeptide chain. Thus a particular protein may see different environments which lead to different denatured states during the course of its function. Some of the denatured states may lead to soluble aggregates, which occasionally lead to diseases [3].

When a polypeptide chain begins to fold starting from a denatured ensemble, each molecule in the ensemble can, in principle, fold along a different path. In this scenario, the starting state in terms of the conformational preferences across the polypeptide chain will have a significant influence on the path the molecule adopts; different denaturing environments inside a cell can create different initial states for the protein to fold from. If the chain already has some structure, that may form the nucleus for additional structure to build upon, and this will reduce the search options for the polypeptide chain in the multi-dimensional conformational space. It can also happen that the existing structure may have to

be removed for a new structure to get formed for the protein to move towards the native state. Thus the number of folding paths for a given protein would be dictated by the number and nature of structural preferences across the length of the chain.

In view of all these, it is important to understand the characteristics of the various denatured states, with regard to their topologies, heterogeneities and motional characteristics, their modulations due to changes in environmental conditions, etc. at atomic level detail. *In vitro*, different denatured states can be created by use of different denaturants, such as Gdn-HCl, urea, SDS, extreme pH conditions, etc. Although these may not exactly represent the denatured states, *in vivo*, they help sample the ensemble quite widely and thus allow investigation of the folding processes, in general.

In this background, we present here a comparative study of the structural and dynamics characteristics of urea-denatured and Gdn-HCl-denatured states of the GTPase effector domain (GED) of dynamin, a crucial protein in clathrin mediated endocytosis. GED plays important roles both in dynamin assembly around the neck of the clathrin coated vesicles, and assists the N-terminal GTPase domain in GTP hydrolysis required for dynamin function [4,5]. The recombinant form of GED has been shown to self-assemble and form large megadalton-sized oligomers *in vitro* [6]. Even at micro-molar concentrations, we first describe the global characteristics of urea-mediated unfolding of GED, as studied by optical techniques including CD and fluorescence, and then the residue-level

Fluorescence measurements

Blue-ANS [4-(4'-nitro-1-anilino)phthalene-8-sulfonate] Molecular Probe, OK, USA) was prepared and the concentration was determined using the extinction coefficient, $\epsilon_{280} = 21,000 \text{ cm}^{-1} \text{ M}^{-1}$. Steady-state fluorescence emission spectra were recorded with $\lambda_{ex} = 395 \text{ nm}$ on a Spex Fluoroglog-MG50F spectrofluorimeter at 27 °C using a 1 cm path length cuvette with a band pass of 1.0 nm for both excitation and emission. The emission spectra were measured from 450 to 550 nm at a scan rate of 1 nm s^{-1} . The denaturation profiles of 10 μM protein in Tris buffer (20 mM, pH 7.4), pre-equilibrated with varying concentration of the denaturant and bis-ANS (4 mM) for 12 h, were measured by monitoring the emission at 491 nm. The data were smoothed by three-point averaging to minimize errors due to denaturant concentration adjustments and were normalized using the following equation [10]:

$$F_{app} = \frac{S_0 - S_{inf}}{S_0 - S_1} \quad (2)$$

References

[20] P.L. Pridow, *Adv. Protein Chem.* 33 (1979) 367–241.

[21] J. Farid, S. Sharma, *B. Biom. Biophys. J.* 20 (2003) 202–202.

[22] J.R. Kuzul, M. Natarajan, D.V. Iyengar, *J. Biol. Chem.* 277 (2002) 40717–40721.

[23] J.R. Kuzul, D.V. Iyengar, *Biochemistry* 41 (2002) 9314–9320.

[24] H.C. Fogel, *Adv. Chem. Ser. J. Biochem.* 212 (1992) 221–222.

[25] N. Shalgi, A.N. Bhan, A. Alberti, C. Zanetti, V. Bhakuni, *FEBS J.* 272 (2000) 222–224.

[26] K. Beres, H. Czankovic, P. Hammarsen, H. Carlsen, *FEBS Lett.* 366 (2000) 95–98.

[27] M.S. Adyar, A. Ahmad, V. Bhakuni, *Biochemistry* 41 (2002) 3819–3827.

[28] J. Chugh, S. Sharma, D. Kumar, R.V. Hosur, *Biomol. NMR Assignments*, doi:10.1007/s12128-006-9021-2.

[29] J.R. Kuzul, P.L. Pridow, *Struct. Biol.* 3 (Suppl.) (1996) 499–503.

[30] H.J. Dyson, P.L. Wright, *Methods Enzymol.* 339 (2001) 226–270.

[31] H.J. Dyson, P.L. Wright, *Adv. Protein Chem.* 62 (2002) 331–346.

[32] H.J. Dyson, P.L. Wright, *Chem. Rev.* 104 (2004) 3607–3652.

[33] S. Schwartinger, C.J. Brown, T.R. Fox, J. Chang, P.E. Wright, *J. Phys. Chem.* (2000) 41–48.

[34] S. Schwartinger, C.J. Brown, T.R. Fox, J. Chang, P.E. Wright, *J. Phys. Chem. Phys.* 104 (2001) 2970–2979.

[35] C.J. Parkin, C. Redfield, J. Dmoch, J. Hubbard, D.J. Mulloy, D.E. Mozakowski, R.A. Smith, C. Wilson, *J. Mol. Biol.* 274 (1993) 152–159.

[36] J. Hingorani, M. Okoro, S.R. Crumpton, J. Wirtzer, E. Doolittle, T. J. Beck, J. Smith, C.J. Wilson, *J. Struct. Biol.* 205 (2003) 3713–3722.

[37] C.J. LeVine, S.J. Whitaker, S.J. Redford, C.R. Moore, *J. Mol. Biol.* 336 (2000) 824–835.

[38] E.R. McConny, E. Kuhn, K.W. Flacco, *Can. Rev. Biochem. Mol. Biol.* 40 (2000) 181–189.

[39] S. Schwartinger, P.E. Wright, *J. Phys. Chem. Biophys.* 43 (2003) 12631–12636.

[40] T.L. James, H. Nii, Uyanov, S. Furo, J. Jones, H. Chang, D.C. Doner, C. Kenick, J. Coyle, J. Mawhood, S.A. Prasad, F.E. Cohen, *Proc. Natl. Acad. Sci. USA* 94 (1997) 10005–10009.

[41] K. Trauco, C.J. Madhala, C.N. Prasad, R.L. Jones, C. Reddaway, N.J. Gaydon, C.R. Moore, *Biochemistry* 44 (2005) 11965–11970.

[42] J. Kyte, J.F. Doolittle, *J. Mol. Biol.* 157 (1982) 105–132.



Scopus中包含文献的题目、关键字、摘要及参考文献，关注于文献的发掘




Scopus的优势

数据数量

数据质量

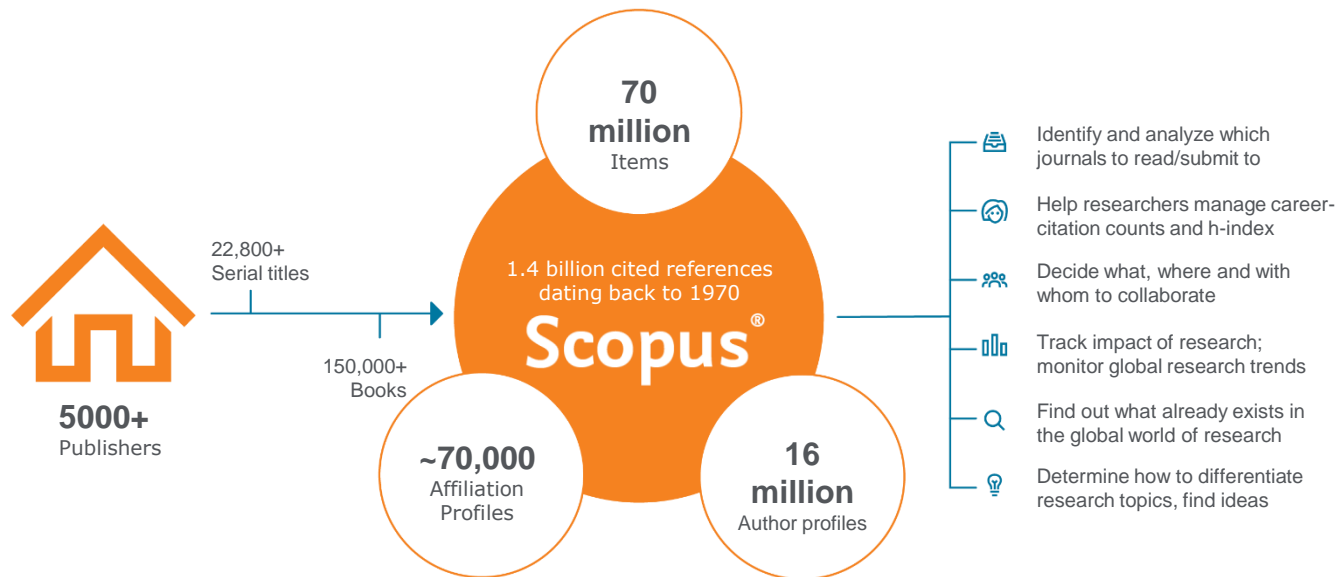
科研

```
graph TD; A[数据数量] --> C((科研)); B[数据质量] --> C;
```

The diagram features a central white circle with the Chinese characters '科研' (Research) in orange. Two white rounded rectangular boxes are positioned above the circle. The left box contains the text '数据数量' (Data Quantity) and the right box contains '数据质量' (Data Quality). Both boxes have orange arrows pointing towards the central circle, indicating that both data quantity and data quality are factors that influence or contribute to research.

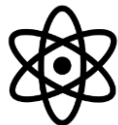
Scopus-数据量

全球最大的同行评议摘要及引文数据库



Scopus-涵盖范围

- 105个国家
- 40种语言
- 每日更新
- 内容多样 (期刊, 会议论文, 书籍, 专利)



- ✓ 3900万条专利记录
- ✓ 五大国际专利库：美、英、日、欧洲知识产权局、世界知识产权局

Scopus收录期刊数 (按领域分类)

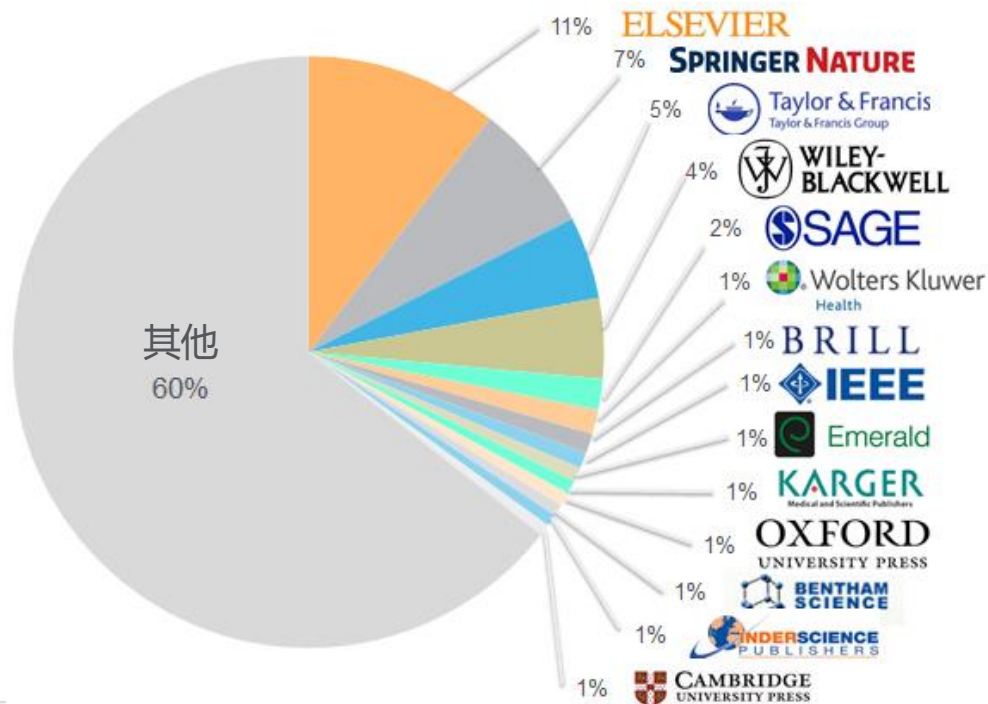
| | 期刊 | 会议论文 | 书籍 |
|----------------------|--------------------------|---------------------|------------------------|
| 自然科学 8,102 | 23,578 同行评议期刊 | 111K 会议活动 | 752 丛书 |
| 医学 7,468 | 308 商业期刊 | 8.8M 会议论文 | 40K 卷 |
| 社会科学 9,692 | 4,065 金色开放获取期刊 | 主要集中在工程和计算机科学 | 183,034 单本书籍 |
| 生命科学 4,883 | >8,000 待刊论文 | | 主要集中在社会科学和人文艺术 |
| | 数据全面回溯至1970年 | | |



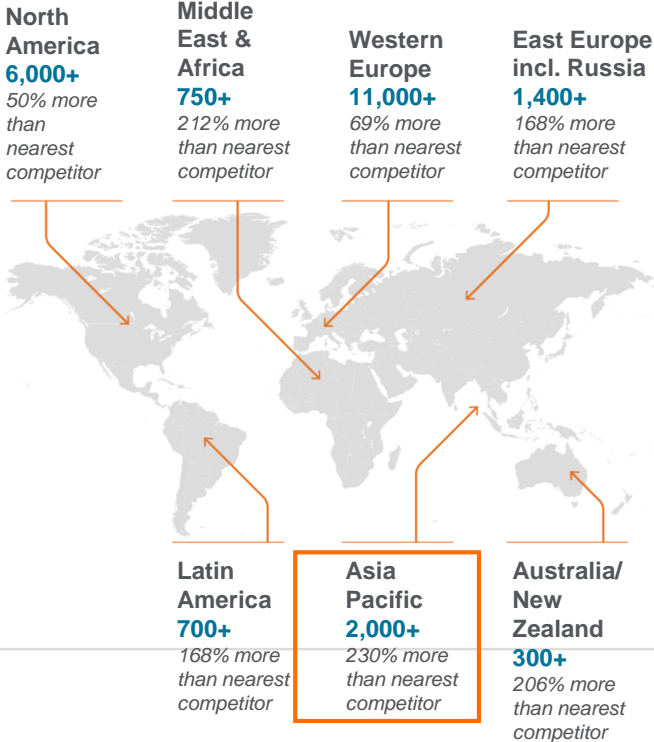
来源: Scopus.com, 截止至2018年10月

Scopus收录内容所属出版商分布

Scopus收录的内容非常丰富，其中Elsevier的期刊只占到10%左右



不同地域的期刊收录量对比



Scopus内容遴选与评审委员会(CSAB)

Expert Curation



› Titles on Scopus are rigorously reviewed and selected by an independent board of subject matter experts to include 52% of the world's peer-reviewed scholarly literature.

* Source: Ulrich's Web Global Serials Directory, August 1, 2017

- CSAB 是一个国际团队。
- 委员会成员由在特定学科领域具有丰富经验的科学家、研究人员和图书馆员所组成，其中许多人都具有期刊编辑经验。
- 审核所有建议纳入Scopus的期刊及已有期刊。



Scopus期刊评审标准

期刊符合下列最低资格标准，方可纳入审核：

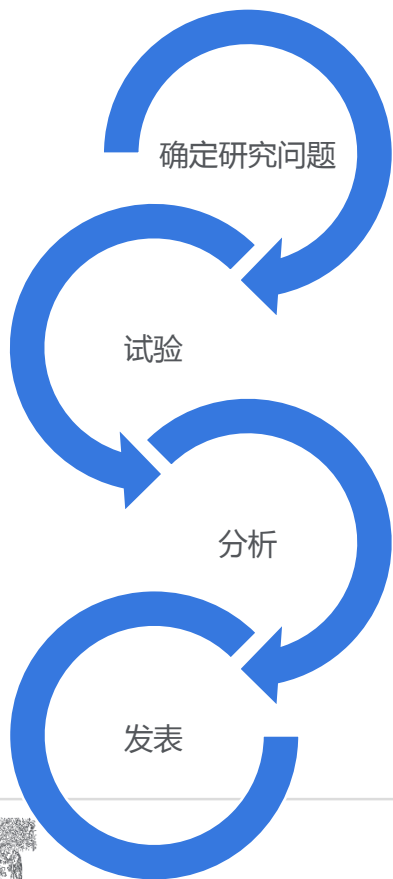
- 发表同行评审（Peer-review）内容并有公开的同行评审流程声明
- 定期出版并已注册国际刊号，即 ISSN 号
- 参考文献为罗马拼音，且具备英文摘要与英文题名
- 具有公开的出版伦理与出版弊端声明
- 期刊出版两年以上



具体标准可参看：<https://www.elsevier.com/zh-cn/solutions/scopus>

Scopus助力科学研究

科研工作基本流程



- 了解、分析现有研究成果
- 发现问题
- 提出假说



Scopus®

- 选题 & 开题

- 确定试验方案及步骤
- 试验
- 数据汇总



- 查阅文献对试验过程进行完善或调整
- 持续跟踪研究领域最新进展

- 数据验证
- 调整试验
- 验证假说
- 数据可视化

- 撰写研究论文
- 发表论文



- 参考文献管理
- 寻找适合的期刊
- 寻找审稿人（依据期刊投稿的具体要求）

基于Scopus高效选题和开题

迅速了解领域中的研究历史和研究背景、获取前沿研究信息

- 最新文献
- 领域中的重要期刊
- 文献搜索结果分析
- 文献综述
- 高影响力文献
- 热点文献
- 把握课题脉络

Scopus-检索功能



Scopus-检索功能



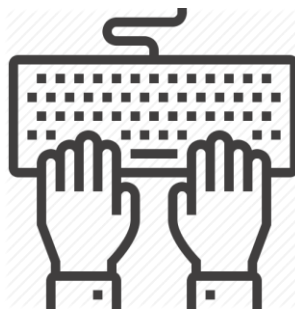
文献



学者



机构



高级

搜索 – 文献搜索页面（简单易用，推荐使用）

已经预定义好了搜索范围

Scopus

[搜索](#) [来源出版物](#) [通知](#) [列表](#) [帮助](#) [SciVal](#) [Tingting Du](#)

文献搜索

[比较来源出版物](#)

添加额外的搜索条件

[文献](#) [作者](#) [归属机构](#) [高级](#)

[搜索提示](#)

搜索

例如Zclarke, s

[限制](#)

作者

- 所有字段
- 论文标题、摘要、关键字
- 作者
- 第一作者
- 来源出版物名称
- 论文标题
- 摘要
- 关键字

搜索

提供机构
The Scopus Team

[帮助改进 Scopus](#)



Scopus 检索-运算符及检索规则

| | |
|---------|---|
| AND | 默认运算符，要求多个检索词同时出现 |
| OR | 检索词必须至少出现一个 |
| And not | 排除搜索词 |
| W/n | 表示单词之间的距离，但不是顺序 - 例如 journal W/2 publishing，其中，可以在“publishing”的两个单词距离内找到“journal” |
| Pre/n | 搜索词必须以单词之间的特定顺序出现 - 例如 behavioral PRE/3 disturbances，其中，behavioral 先于 disturbances 三个单词之内 |
| 通配符？ | 取代检索词中的1个字母，如Transplant？检索到Transplants |
| 通配符* | 取代检索词中的任意个字母，如transplant*可以检索到transplant, transplanted, transplanting.... |
| "" | 粗略/近似短语检索，标点符号，连词符，单复数等会被自动忽略 |
| { } | 精确短语检索，所有符号将被作为检索词进行严格匹配 |

案例

太阳能电池 (Solar cells) 的相关研究

选题和开题

Scopus

检索

来源出版物

通知

列表

帮助 ▾

SciVal ↗

Tingting Du ▾



文献搜索

比较来源出版物 >

文献 作者 归属机构 高级

搜索提示 ⓘ

搜索

"solar cells"

× 论文标题、摘要、关键字



例如: "Cognitive architectures" AND robots

> 限制

输入“太阳能电池”检索式：“solar cells”，
检索范围为论文标题、摘要、关键字

重置表单

搜索 🔍

提供机构

The Scopus Team



帮助改进 Scopus



选题和开题

Scopus主要使用功能

Scopus

检索 来源出版物 通知 列表 帮助 ▾ SciVal ↗ Tingting Du ▾ ☰

144,800 文献搜索结果

查看次要文献 查看 302556 专利搜索结果 Search your library View 728 Mendeley Data

TITLE-ABS-KEY ("solar cells")

✎ 编辑 📁 保存 🔔 设置通知 📧 设置馈送流

在搜索结果内搜索...



精简搜索结果

限制范围 排除

访问类型 ⓘ

Open Access (12,530) >

Other (132,270) >

年份 ▾

作者姓名 ▾

学科类别 ▾

🔊 分析搜索结果

显示所有摘要 排序对象: 日期 (最新) ▾

全部 ▾ CSV 导出 ▾ 下载 查看引文概览 查看施引文献 保存到列表 ... 🖨️ ✉️ 📄

| | 文献标题 | 作者 | 年份 | 来源出版物 | 施引文献 |
|----------------------------|--|---|------|---|------|
| <input type="checkbox"/> 1 | Heteroatom substitution-induced asymmetric A-D-A type non-fullerene acceptor for efficient organic solar cells | Li, C., Song, J., Cai, Y., (...), Woo, H.Y., Sun, Y. | 2020 | Journal of Energy Chemistry 40, pp. 144-150 | 0 |
| | 查看摘要 ▾ | <input type="button" value="Full Text"/> View at Publisher 相关文章 | | | |
| <input type="checkbox"/> 2 | Tuning the optoelectronic properties of vinylene linked perylenediimide dimer by ring annulation at the inside or outside bay positions for fullerene-free organic solar cells | Yang, J., Chen, F., Cong, P., (...), Zhang, B., Zhou, E. | 2020 | Journal of Energy Chemistry 40, pp. 112-119 | 0 |
| | 查看摘要 ▾ | <input type="button" value="Full Text"/> View at Publisher 相关文章 | | | |

选题和开题

获取前沿研究信息 – 查看最新发表文献

Scopus

检索 来源出版物 通知 列表 帮助 ▾ SciVal ↗ Tingting Du ▾ ☰

144,800 文献搜索结果

查看次要文献 查看 302556 专利搜索结果 Search your library View 728 Mendeley Data

TITLE-ABS-KEY ("solar cells")

✎ 编辑 📁 保存 🔔 设置通知 🗨️ 设置馈送流

搜索结果按照发表日期 (最新) 排序

在搜索结果内搜索...



🔊 分析搜索结果

显示所有摘要

排序对象: 日期 (最新)



精简搜索结果

限制范围

排除

访问类型

Open Access

(12,530) >

Other

(132,270) >

年份

作者姓名

学科类别

全部 ▾ CSV 导出 ▾ 下载 查看引文概览 查看施引文献 保存到列表 ... 📄 ✉️ 📁

| | 文献标题 | 作者 | 年份 | 来源出版物 | 施引文献 |
|----------------------------|---|--|------|---|------|
| <input type="checkbox"/> 1 | Heteroatom substitution-induced asymmetric A-D-A type non-fullerene acceptor for efficient organic solar cells | Li, C., Song, J., Cai, Y., (...), Woo, H.Y., Sun, Y. | 2020 | Journal of Energy Chemistry 40, pp. 144-150 | 0 |
| | 查看摘要 ▾ | <input type="button" value="Full Text"/> <input type="button" value="View at Publisher"/> 相关文章 | | | |
| <input type="checkbox"/> 2 | Tuning the optoelectronic properties of vinylene linked perylene diimide dimer by ring annulation at the inside or outside bay positions for fullerene-free organic solar cells | Yang, J., Chen, F., Cong, P., (...), Zhang, B., Zhou, E. | 2020 | Journal of Energy Chemistry 40, pp. 112-119 | 0 |
| | 查看摘要 ▾ | <input type="button" value="Full Text"/> <input type="button" value="View at Publisher"/> 相关文章 | | | |

点击查看全文 (学校如已购买全文库)

选题和开题

获取前沿研究信息 – 查看最新发表文献

Scopus

检索 来源出版物 通知 列表 帮助 ▾ SciVal ↗ Tingting Du ▾ ☰

144,800 文献搜索结果

查看次要文献 查看 302556 专利搜索结果 Search your library View 728 Mendeley Data

TITLE-ABS-KEY ("solar cells")

✎ 编辑 🗄️ 保存 🔔 设置通知 📧 设置推送流

在搜索结果内搜索...

精简搜索结果

限制范围 排除

访问类型 ⓘ

Open Access (12,530) >

Other (132,270) >

年份 ▾

作者姓名 ▾

学科类别 ▾

🔊 分析搜索结果

显示所有摘要 排序对象: 日期 (最新) ▾

全部 ▾ CSV 导出 ▾ **下载** 查看引文概览 查看施引文献 保存到列表 ... 📄 ✉️ 📄

点击下载，查看pdf格式全文
(学校如已购买全文库)

| | 文献标题 | 作者 | 年份 | 来源出版物 | 施引文献 |
|--|--|--|------|---|------|
| <input type="checkbox"/> 1 | Heteroatom substitution-induced asymmetric A–D–A type non-fullerene acceptor for efficient organic solar cells | Li, C., Song, J., Cai, Y., (...), Woo, H.Y., Sun, Y. | 2020 | Journal of Energy Chemistry 40, pp. 144-150 | 0 |
| 查看摘要 ▾ Full Text View at Publisher 相关文献 | | | | | |
| <input type="checkbox"/> 2 | Tuning the optoelectronic properties of vinylene linked peryleneimide dimer by ring annulation at the inside or outside bay positions for fullerene-free organic solar cells | Yang, J., Chen, F., Cong, P., (...), Zhang, B., Zhou, E. | 2020 | Journal of Energy Chemistry 40, pp. 112-119 | 0 |


* 第一次使用需先安装扩展程序 (支持Chrome及Firefox浏览器)

选题和开题

获取前沿研究信息 – 查看最新发表文献

Scopus 文献下载管理器

×

 2 全文文献已作为 PDF 文件成功下载到您的个人下载文件夹中。

1. Performance comparison of III-V//Si and III-V//InGaAs multi-junction solar cells fabricated by the combination of mechanical stacking and wire bonding [公开访问](#)
2. Degradation pathways in standard and inverted DBP-C 70 based organic solar cells [公开访问](#)

已下载 

已下载 

已完成

SCIENTIFIC REPORTS

OPEN **Performance comparison of III-V//Si and III-V//InGaAs multi-junction solar cells fabricated by the combination of mechanical stacking and wire bonding**

Received: 11 November 2018
Accepted: 19 February 2019
Published online: 13 March 2019



点击下载，查看pdf格式全文（学校如已购买全文库）。若无阅读全文的权限则提示“与出版商核实”。

* 第一次使用需先安装扩展程序（支持Chrome及Firefox浏览器）

选题和开题

获取前沿研究信息 – 查看领域中重要期刊（收录数量）中最新综述文献

Scopus

检索 来源出版物 通知 列表 帮助 ∨ SciVal ∨ Tingting Du ∨

144,800 文献搜索结果

查看次要文献 查看 302556 专利搜索结果 Search your library View 728 Mendeley Data

TITLE-ABS-KEY ("solar cells")

编辑 保存 设置通知 设置推送流

查看收录相关文献较多的期刊

在搜索结果内搜索...

分析搜索结果

来源出版物标题

- Conference Record Of The IEEE Photovoltaic Specialists Conference (7,687) >
- Solar Energy Materials And Solar Cells (5,566) >
- Proceedings Of SPIE The International Society For Optical Engineering (2,953) >
- Thin Solid Films (2,822) >
- Applied Physics Letters (2,820) >
- Journal Of Applied Physics (2,250) >
- ACS Applied Materials And Interfaces (2,178) >

显示所有摘要 排序对象: 日期 (最新)

| 年份 | 来源出版物 | 施引文献 |
|------|---|------|
| 2020 | Journal of Energy Chemistry 40, pp. 144-150 | 0 |
| 2020 | Journal of Energy Chemistry 40, pp. 112-119 | 0 |
| 2020 | Journal of Energy Chemistry | 0 |

来源出版物标题

来源出版物标题

选题和开题

获取前沿研究信息 – 查看领域中重要期刊（收录数量）中最新综述文献

Scopus

检索 来源出版物 通知 列表 帮助 ▾ SciVal ▾ Tingting Du ▾

来源出版物

直接搜索出版物标题

切换至来源出版物搜索页面

标题

输入标题

Solar Energy Materials And Solar Cells

查找来源出版物



期刊和丛书的 CiteScore 度量标准

Scopus 中的 CiteScore 度量标准是:

- 综合
- 易懂
- 最新且免费

使用此页面查找来源出版物并查看关联的度量标准。在展示研究影响时使用定性和定量度量标准。务必使用多个定量度量标准。
[更多了解 CiteScore。](#)



过滤器优化列表

应用 清除筛选器

显示选项

- 仅显示公开访问期刊
- 仅显示以下来源出版物

最小 0 文献

(前3年)

39,647 个结果

下载 Scopus 来源出版物列表

查看如下年份的度量标准: 2017

| 来源出版物名称 ↓ | CiteScore ↓ | 最高百分位数 ↓ | 引文 2017 ↓ | 文献 2014-16 ↓ | 被引用比率 ↓ | SNIP ↓ |
|--|-------------|----------|-----------|--------------|---------|--------|
| Ca-A Cancer Journal for Clinicians | 130.47 | 99% | 16,961 | 130 | 70 | 88.164 |
| 1/120 Hematology | | | | | | |

选题和开题

获取前沿研究信息 – 查看领域中重要期刊（收录数量）中最新综述文献

来源出版物

标题



输入标题

查找来源出版物

标题: Solar Energy Materials And Solar Cells x

期刊和丛书的 CiteScore 度量标准

Scopus 中的 CiteScore 度量标准是:

- 综合
- 易懂
- 最新且免费

使用此页面查找来源出版物并查看关联的度量标准。在展示研究影响时使用定性和定量度量标准。务必使用多个定量度量标准。
更多了解 CiteScore。



过滤器优化列表

应用

清除筛选器

1 个结果

查看期刊排名

下载 Scopus 来源出版物列表

点击进入期刊详情页面

查看如下年份的度量标准: 2017

显示选项

仅显示公开访问期刊

仅显示以下来源出版物

最小 0 文献



(前 3 年)

来源出版物名称 ↓

CiteScore ↓

最高百分位数 ↓

引文
2017 ↓

文献
2014-16 ↓

被引用比率 ↓

SNIP ↓

Solar Energy Materials and Solar Cells

4.83

92%
9/109
Surfaces, Coatings and
Films

8,040

1,663

91

1.532



选题和开题

获取前沿研究信息 – 查看领域中重要期刊（收录数量）中最新综述文献

Scopus

检索 [来源出版物](#) 通知 列表

来源出版物详情

Solar Energy Materials and Solar Cells

以前称为: Solar Energy Materials

以前称为: Solar Cells

Scopus 涵盖范围年份: 1970, 从 1992 到 2018

出版商: Elsevier

ISSN: 0927-0248 E-ISSN: 1879-0248

学科类别: [Materials Science: Surfaces, Coatings and Films](#) [Materials Science: Electronic, Optical and Magnetic Materials](#) [Energy: Renewable Energy, Sustainability and the Environment](#)

[查看所有文献](#)

[设置文献通知](#)

[Journal Homepage](#)

[COPAC](#)

[EzB](#)

[更多](#)

点击查看该期刊下所有文献



选题和开题

获取前沿研究信息 – 查看领域中重要期刊（收录数量）中最新综述文献

过滤依据 文献类型

| | |
|--|------------|
| <input type="checkbox"/> Article | (97,405) > |
| <input type="checkbox"/> Conference Paper | (38,528) > |
| <input checked="" type="checkbox"/> Review | (3,848) > |
| <input type="checkbox"/> Book Chapter | (1,689) > |
| <input type="checkbox"/> Conference Review | (1,187) > |
| <input type="checkbox"/> Note | (490) > |
| <input type="checkbox"/> Erratum | (405) > |
| <input type="checkbox"/> Article in Press | (347) > |
| <input type="checkbox"/> Book | (281) > |
| <input type="checkbox"/> Short Survey | (220) > |

通过精简搜索结果缩小范围。如利用文献类型

选题和开题

获取前沿研究信息 – 查看领域中重要期刊（收录数量）中最新综述文献

Scopus

检索 来源出版物 通知 列表 帮助 帮助 帮助 SciVal Tingting Du

91 文献搜索结果

按发表日期最新排列

SOURCE-ID (13332) AND (LIMIT-TO (DOCTYPE, "re"))

编辑 保存 设置通知 设置推送流

在搜索结果内搜索...

精简搜索结果

限制范围 排除

访问类型

年份

作者姓名

学科类别

出版阶段

文献类型

分析搜索结果

显示所有摘要 排序对象: 日期 (最新)

全部 Scival 导出 下载 查看引文概览 查看施引文献 保存到列表

| | 文献标题 | 作者 | 年份 | 来源出版物 | 施引文献 |
|--------------------------|------|---|--|--|------|
| <input type="checkbox"/> | 1 | Recent advances in infrared reflective inorganic pigments | Jose, S., Joshy, D., Narendranath, S.B., Periyat, P. | 2019 Solar Energy Materials and Solar Cells 194, pp. 7-27 | 0 |
| <input type="checkbox"/> | 2 | Detailed structural and electrical characterization of plated crystalline silicon solar cells | Dang, C., Labie, R., Simoen, E., Poortmans, J. | 2018 Solar Energy Materials and Solar Cells 184, pp. 57-66 | 2 |

查看摘要 Full Text View at Publisher 相关文章

ELSEVIER

选题和开题

获取前沿研究信息 – 查看领域中重要期刊（期刊质量）中最新发表文献

Scopus学科类别：27个一级学科，334个二级学科

Scopus

检索 来源出版物 通知 列表 帮助 ▾ SciVal ▶ Tingting Du ▾ ☰

来源出版物

学科类别

输入学科类别

按学科类别则选择相应学科

期刊和丛书的 CiteScore 度
Scopus 中的 CiteScore 度量标准
• 综合
• 易懂
• 最新且免费
使用此页面查找来源出版物并查
多了解 CiteScore。

过滤器优化列表
应用 清除筛选器

显示选项
 仅显示公开访问期刊
 仅显示以下来源出版物
最小 0 文献

- Biomaterials
- Ceramics and Composites
- Electronic, Optical and Magnetic Materials
- General Materials Science
- Materials Chemistry
- Materials Science (miscellaneous)
- Metals and Alloys
- Polymers and Plastics
- Surfaces, Coatings and Films
- Mathematics
 - Algebra and Number Theory
 - Analysis

3年内的文献

2017年内的引文

2013 2014 2015 2016 2017 2018

更

下载 Scopus 来源出版物列表

查看如下年份的度量标准: 2017

| 份分数 ↓ | 引文 2017 ↓ | 文献 2014-16 ↓ | 被引用比率 ↓ | SNIP ↓ | | |
|------------------------------------|--------------|-----------------|---------|--------|----|--------|
| Ca-A Cancer Journal for Clinicians | 130.47 | 99% | 16,961 | 130 | 70 | 88.164 |

应用

选题和开题

获取前沿研究信息 – 查看领域中重要期刊（期刊质量）中最新发表文献

学科类别



输入学科类别

学科: Materials Chemistry x

期刊和丛书的 CiteScore 度量标准

Scopus 中的 CiteScore 度量标准是:

- 综合
- 易懂
- 最新且免费

使用此页面查找来源出版物并查看关联的度量标准。在展示研究影响时使用定性和定量度量标准。务必使用多个定量度量标准。更多了解 CiteScore。



过滤器优化列表

应用

清除筛选器

显示选项

仅显示

仅显示

最小 0

文献

(前 3 年)

CiteScore 最高千分位数

仅显示前 10% 的标题

第一四分位数

第二四分位数

第三四分位数

ELSEVIER

334 个结果

查看期刊排名

下载 Scopus 来源出版物列表

查看如下年份的度量标准: 2017

查看顶级期刊（按 CiteScore 排名）

| 来源出版物名称 ↓ | CiteScore ↓ | 最高百分位数 ↓ | 引文 2017 ↓ | 文献 2014-16 ↓ | 被引用比率 ↓ | SNIP ↓ |
|-----------------------------|-------------|--|-----------|--------------|---------|--------|
| Materials Reviews Materials | 25.79 | 99% 1/76 Biomaterials | 2,631 | 102 | 66 | 9.922 |
| Progress in Polymer Science | 24.94 | 99% 1/96 Ceramics and Composites | 4,289 | 172 | 98 | 7.288 |
| Surface Science Reports | 15.1 | 99% 3/259 Materials Chemistry | 468 | 31 | 97 | 5.591 |

选题和开题

了解领域中的研究历史和研究背景 – 文献搜索结果分析

Scopus

[检索](#) [来源出版物](#) [通知](#) [列表](#) [帮助](#) [SciVal](#) [Tingting Du](#)

144,800 文献搜索结果

[查看次要文献](#) [查看 302556 专利搜索结果](#) [Search your library](#) [View 728 Mendeley Data](#)

TITLE-ABS-KEY ("solar cells")

[编辑](#) [保存](#) [设置通知](#) [设置馈送流](#)

在搜索结果内搜索...

分析搜索结果

[显示所有摘要](#) 排序对象: [日期 \(最新\)](#)

精簡搜尋結果

[限制范围](#) [排除](#)

访问类型 [访问类型](#)

年份 [年份](#)

[作者姓名](#) [作者姓名](#)

Grätzel, M. (777) >

Green, M.A. (563) >

Li, Y. (473) >

全部 [CSV 导出](#) [下载](#) [查看引文概览](#) [查看施引文献](#) [保存到列表](#) [打印](#) [邮件](#) [分享](#)

| | 文献标题 | 作者 | 年份 | 来源出版物 | 施引文献 |
|---|--|--|------|--|------|
| <input type="checkbox"/> 1 | Heteroatom substitution-induced asymmetric A–D–A type non-fullerene acceptor for efficient organic solar cells | Li, C., Song, J., Cai, Y., (...), Woo, H.Y., Sun, Y. | 2020 | Journal of Energy Chemistry 40, pp. 144-150 | 0 |
| 查看摘要 Full Text View at Publisher 相关文章 | | | | | |
| <input type="checkbox"/> 2 | Tuning the optoelectronic properties of vinylene linked peryleneimide dimer by ring annulation at the inside or outside bay positions for fullerene-free organic solar cells | Yang, J., Chen, F., Cong, P., (...), Zhang, B., Zhou, E. | 2020 | Journal of Energy Chemistry 40, pp. 112-119 | 0 |

选题和开题

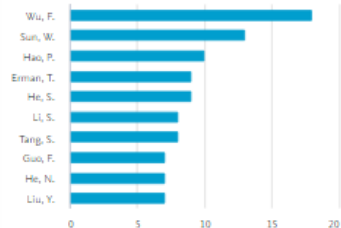
了解领域中的研究历史和研究背景 – 文献搜索结果分析

快速了解发文年份变化、高发文国家/地区、作者、机构、学科交叉等背景信息

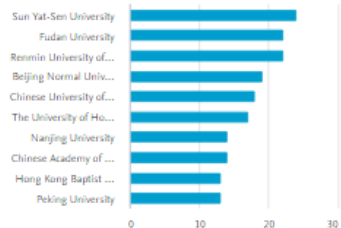
按年份划分的文献



按作者划分的文献



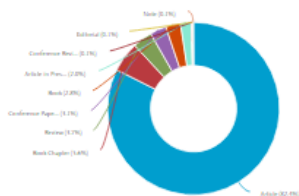
按归属机构划分的文献



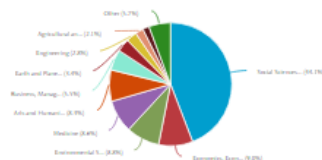
按国家/地区划分的文献



按类型划分的文献



按学科类别划分的文献



选题和开题

了解领域中的研究历史和研究背景 – 文献综述

144,800 文献搜索结果

[查看次要文献](#) [查看 302556 专利搜索结果](#) [Search your library](#) [View 728 Mendeley Data](#)

TITLE-ABS-KEY ("solar cells")

[编辑](#) [保存](#) [设置通知](#) [设置推送流](#)

在搜索结果内搜索...



精简搜索结果

[限制范围](#) [排除](#)

访问类型

年份

作者姓名

学科类别

出版阶段

文献类型

- Article (97,405) >
- Conference Paper (38,528) >
- Review (3,848) >
- Book Chapter (1,689) >

利用文献类型精简
搜索结果至Review

分析搜索结果

[显示所有摘要](#) 排序对象: [日期 \(最新\)](#)

全部 [CSV 导出](#) [下载](#) [查看引文概览](#) [查看施引文献](#) [保存到列表](#) [打印](#) [邮件](#) [分享](#)

| | 文献标题 | 作者 | 年份 | 来源出版物 | 施引文献 |
|----------------------------|---|--|------|---|------|
| <input type="checkbox"/> 1 | Heteroatom substitution-induced asymmetric A-D-A type non-fullerene acceptor for efficient organic solar cells | Li, C., Song, J., Cai, Y., (...), Woo, H.Y., Sun, Y. | 2020 | Journal of Energy Chemistry 40, pp. 144-150 | 0 |
| | 查看摘要 Full Text View at Publisher 相关文章 | | | | |
| | ...ining the optoelectronic properties of vinylene linked peryleneimide dimer ring annulation at the inside or outside bay positions for fullerene-free organic solar cells | Yang, J., Chen, F., Cong, P., (...), Zhang, B., Zhou, E. | 2020 | Journal of Energy Chemistry 40, pp. 112-119 | 0 |
| | 查看摘要 Full Text View at Publisher 相关文章 | | | | |
| <input type="checkbox"/> 3 | Effect of cation (Li ⁺ , Na ⁺ , K ⁺ , Rb ⁺ , Cs ⁺) in aqueous electrolyte on the electrochemical redox of Prussian blue analogue (PBA) cathodes | Phadke, S., Mysyk, R., Anouti, M. | 2020 | Journal of Energy Chemistry pp. 31-38 | 0 |

选题和开题

了解领域中的研究历史和研究背景 – 文献综述

Scopus

检索 来源出版物 通知 列表 帮助 ▾ SciVal 3 Tingting Du ▾

3,848 文献搜索结果

查看次要文献 查看 302556 专利搜索结果 View 728 Mendeley Data

TITLE-ABS-KEY ("solar cells") AND (LIMIT-TO (DOCTYPE, "re"))

编辑 保存 设置通知 设置推送流

- 按照被引频次降序排列：锁定领域中受关注较多的综述；
- 按照出版日期排序：锁定领域中最新发表的综述

在搜索结果内搜索...



精简搜索结果

限制范围

排除

访问类型

年份

作者姓名

学科类别

出版阶段

文献类型

分析搜索结果

显示所有摘要 排序对象 日期 (最新)

全部 CSV 导出 下载 查看引文概览 查看施引文献 保存到列表

| | 文献标题 | 作者 | 年份 | 来源 | 施引文献 (最新) |
|--------------------------|---|--|-----------------------------------|-----------------------------|-----------|
| <input type="checkbox"/> | 1 Nanomorphology in A-D-A type small molecular acceptors-based bulk heterojunction polymer solar cells | Liu, D., Zhang, Y., Li, G. | 2019 | Journal of Energy Chemistry | 3 |
| | 查看摘要 | Full Text | View at Publisher | 相关文章 | |
| <input type="checkbox"/> | 2 SnO ₂ -based electron transporting layer materials for perovskite solar cells: A review of recent progress | Chen, Y., Meng, Q., Zhang, L., (...), Zhang, Y., Yan, H. | 2019 | Journal of Energy Chemistry | 3 |
| | 查看摘要 | Full Text | View at Publisher | 相关文章 | |

日期 (最新)

日期 (升序)

施引文献 (最多数量)

施引文献 (最少数量)

相关性

第一作者 (A-Z)

第一作者 (Z-A)

来源出版物名称 (A-Z)

选题和开题

了解领域中的研究历史和研究背景 – 高影响力文献

144,800 文献搜索结果

[查看次要文献](#) [查看 302556 专利搜索结果](#) [Search your library](#) [View 728 Mendeley Data](#)

TITLE-ABS-KEY ("solar cells")

[编辑](#) [保存](#) [设置通知](#) [设置推送流](#)

- 按照被引频次降序排列：锁定领域中**高影响力文献**

在搜索结果内搜索

显示所有摘要 排序对象: [施引文献 \(最多数量\)](#)

精簡搜尋結果

限制范围 排除

访问类型 年份 作者姓名 学科类别 出版阶段 文献类型

来源出版物标题

关键字

关键字

| 作者 | 年份 | 来源出版物 | 施引文献 |
|-----------------------------|------|--|-------|
| O'Regan, B., Grätzel, M. | 1991 | Nature 353(6346), pp. 737-740 | 21774 |
| Yablonovitch, E. | 1987 | Physical Review Letters 58(20), pp. 2059-2062 | 12133 |
| Duffie, J.A., Beckman, W.A. | 2013 | Solar Engineering of Thermal Processes: Fourth Edition | 6924 |

利用学科、文献类型、关键字等有针对性地精简搜索结果

选题和开题

了解领域中的研究历史和研究背景 – 热点文献

Scopus

检索 来源出版物 通知 列表 帮助 ▾ SciVal ˆ Tingting Du ▾ ≡

144,800 文献搜索结果

查看次要文献 查看 302556 专利搜索结果 Search your library View 728 Mendeley Data

TITLE-ABS-KEY ("solar cells")

编辑 保存 设置通知 设置推送流

查看热点文献，使用“查看引文概览”功能

在搜索结果内搜索...



精简搜寻结果

限制范围 排除

访问类型 ▾

年份 ▾

作者姓名 ▾

学科类别 ▾

出版阶段 ▾

文献类型 ▾

分析搜索结果

显示所有摘要 排序对象: 施引文献 (最多数量) ▾

全部 ▾ CSV 导出 ▾ 下载 查看引文概览 查看施引文献 保存到列表 ... 打印 邮件 分享

| | 文献标题 | 作者 | 年份 | 来源出版物 | 施引文献 |
|---|---|--------------------------|------|---|-------|
| 1 | A low-cost, high-efficiency solar cell based on dye-sensitized colloidal TiO ₂ films | O'Regan, B., Grätzel, M. | 1991 | Nature 353(6346), pp. 737-740 | 21774 |
| | 查看摘要 ▾ Full Text View at Publisher 相关文章 | | | | |
| 2 | Inhibited spontaneous emission in solid-state physics and electronics 公开访问 | Yablonovitch, E. | 1987 | Physical Review Letters 58(20), pp. 2059-2062 | 12133 |
| | 查看摘要 ▾ Full Text View at Publisher 相关文章 | | | | |

“查看引文概览”上限是2000条。如文献超过2000条，可利用左侧初步筛选，比如先精简至某期刊或某学科类别，再查看最近几年的热点文献

选题和开题

了解领域中的研究历史和研究背景 – 热点文献

Scopus

[检索](#) [来源出版物](#) [通知](#) [列表](#) [帮助](#) [SciVal](#) [Tingting Du](#)

1,930 文献搜索结果

[查看次要文献](#) [查看 56867 专利搜索结果](#) [View 728 Mendeley Data](#)

TITLE-ABS-KEY ("solar cells") AND (LIMIT-TO (EXACTKEYWORD, "Defects"))

[编辑](#) [保存](#) [设置通知](#) [设置馈送流](#)

勾选“全部”后“查看引文概览”

在搜索结果内搜索...

分析搜索结果 [显示所有摘要](#) 排序对象: [日期 \(最新\)](#)

全部 [Scival 导出](#) [下载](#) [查看引文概览](#) [查看施引文献](#) [保存到列表](#) ... [打印](#) [邮件](#) [分享](#)

| | 文献标题 | 作者 | 年份 | 来源出版物 | 施引文献 |
|---------------------------------------|---|--|------|---|------|
| <input checked="" type="checkbox"/> 1 | Hole transport materials doped to absorber film for improving the performance of the perovskite solar cells | Wang, Q., Li, H., Zhuang, J., (...), Wang, Y., Lei, J. | 2019 | Materials Science in Semiconductor Processing 98, pp. 113-120 | 0 |
| | 查看摘要 Full Text View at Publisher 相关文章 | | | | |
| <input checked="" type="checkbox"/> 2 | Current challenges and future prospects for a highly efficient (>20%) kesterite CZTS solar cell: A review | Pal, K., Singh, P., Bhaduri, A., Thapa, K.B. | 2019 | Solar Energy Materials and Solar Cells 196, pp. 138-156 | 0 |
| | 查看摘要 Full Text View at Publisher 相关文章 | | | | |

“查看引文概览”上限是2000条。如文献超过2000条，可利用左侧初步筛选，比如先精简至某期刊或某学科类别，再查看最近几年的热点文献

选题和开题

了解领域中的研究历史和研究背景 – 热点文献

- 识别出近年被引频次较高的文献

排序对象: 引文计数(降序) ▼

Page Remove

| 文献 | 引文 | <2015 | 2015 | 2016 | 2017 | 2018 | 2019 | 小计 | >2019 | 总计 |
|----------------------------|---|-------------|-------------|-------------|-------------|-------------|-------------|--------------|------------|--------------|
| | Total | 9348 | 3549 | 3681 | 3662 | 3672 | 1296 | 15860 | 0 | 25208 |
| <input type="checkbox"/> 1 | Molecular design and ordering effects in n-functional materi... | 2011 | 479 | 180 | 138 | 132 | 82 | 37 | 569 | 1048 |
| <input type="checkbox"/> 2 | Additive enhanced crystallization of solution-processed pero... | 2014 | 32 | 169 | 222 | 181 | 224 | 58 | 854 | 886 |
| <input type="checkbox"/> 3 | Synthetic control of structural order in N-alkylthieno[3,4- ... | 2010 | 559 | 96 | 57 | 43 | 42 | 6 | 244 | 803 |

Page Remove

| 文献 | 引文 | <2015 | 2015 | 2016 | 2017 | 2018 | 2019 | 小计 | >2019 | 总计 |
|-----------------------------|---|-------------|-------------|-------------|-------------|-------------|-------------|--------------|-----------|--------------|
| | Total | 9348 | 3549 | 3681 | 3662 | 3672 | 1296 | 15860 | 0 | 25208 |
| <input type="checkbox"/> 41 | Tantalum-doped titanium dioxide nanowire arrays for dye-sens... | 2009 | 108 | 14 | 14 | 9 | 12 | 8 | 57 | 165 |
| <input type="checkbox"/> 42 | Inverted polymer solar cells with reduced interface recombin... | 2012 | 72 | 26 | 21 | 18 | 18 | 7 | 90 | 162 |

选题和开题

了解领域中的研究历史和研究背景 – 把握课题脉络

Scopus

[检索](#) [来源出版物](#) [通知](#) [列表](#) [帮助](#) [SciVal](#) [Tingting Du](#)

144,800 文献搜索结果

[查看次要文献](#) [查看 302556 专利搜索结果](#) [Search your library](#) [View 728 Mendeley Data](#)

TITLE-ABS-KEY ("solar cells")

[编辑](#) [保存](#) [设置通知](#) [设置推送流](#)

在搜索结果内搜索...

分析搜索结果

[显示所有摘要](#) 排序对象: [施引文献 \(最多数量\)](#)

精简搜索结果

[限制范围](#) [排除](#)

全部 [CSV 导出](#) [下载](#) [查看引文概览](#) [查看施引文献](#) [保存到列表](#)

| 文献标题 | 作者 | 年份 | 来源出版物 | 施引文献 |
|------|----|----|-------|------|
|------|----|----|-------|------|

| | | | | |
|-----------------------------|------------------------------------|--|---------------------------------------|------|
| <input type="checkbox"/> 15 | Hybrid nanorod-polymer solar cells | Huynh, W.U., Dittmer, J.J., Alivisatos, A.P. | 2002 Science 295(5564), pp. 2425-2427 | 4542 |
|-----------------------------|------------------------------------|--|---------------------------------------|------|

[查看摘要](#) [Full Text](#) [View at Publisher](#) [相关文献](#)

从一篇高影响力文献出发：点击查看文献详情



ELSEVIER


选题和开题

了解领域中的研究历史和研究背景 – 把握课题脉络

Science

Volume 295, Issue 5564, 29 March 2002, Pages 2425-2427

Hybrid nanorod-polymer solar cells (Article)

Huynh, W.U., Dittmer, J.J., Alivisatos, A.P. 



Department of Chemistry, University of California, Berkeley, Materials Science Division, Berkeley, CA 94720, United States

摘要

We demonstrate that semiconductor nanorods can be used to fabricate readily processed and efficient hybrid solar cells together with polymers. By controlling nanorod length, we can change the distance on which electrons are transported directly through the thin film device. Tuning the band gap by altering the nanorod radius enabled us to optimize the overlap between the absorption spectrum of the cell and the solar emission spectrum. A photovoltaic device consisting of 7-nanometer by 60-nanometer CdSe nanorods and the conjugated polymer poly-3(hexylthiophene) was assembled from solution with an external quantum efficiency of over 54% and a monochromatic power conversion efficiency of 6.9% under 0.1 milliwatt per square centimeter illumination at 515 nanometers. Under Air Mass (A.M.) 1.5 Global solar conditions, we obtained a power conversion efficiency of 1.7%.

SciVal 热门主题

主题: Solar cells | Nanocrystals | poly(3-hexylthiophene P3HT)

突出百分比: 95.882  

索引关键字

Engineering controlled terms:

Absorption

Organic polymers

Quantum efficiency

Semiconductor materials


Engineering uncontrolled terms:

Semiconductor nanorods

Engineering main heading:

Solar cells



17.77  领域加权的引用影响



PlumX 度量标准

在 Scopus 之外的使用情况、
抓取、提及、社交媒体和引
用。

被 4542 篇文献引用

Synthesis of salt-stable fluorescent nanoparticles (quantum dots) by polyextremophile halophilic bacteria

Bruna, N. , Collao, B. , Tello, A.
(2019) *Scientific Reports*

Reevaluating the effects of reorganization energy on electron transfer rate for quantum dot-molecular acceptor complexes in different solvents

Zhao, H. , Li, Y. , Diao, L.
(2019) *Spectrochimica Acta - Part A: Molecular and Biomolecular Spectroscopy*

Visible photoactivity and antiphotocorrosion performance of CdS photocatalysts by the hybridization of N-substituted carboxyl group polyaniline

Zhang, J. , Fang, J. , Ye, X.
(2019) *Applied Surface Science*

查看施引文献 (最新进展)

查看所有 4542 篇施引文献

选题和开题

了解领域中的研究历史和研究背景 – 把握课题脉络

参考文献 (21)

全部

- 1 Shaheen, S.E., Brabec, C.J., Sariciftci, N.S., Padinger, F., Fromherz, T., Hummelen, J.C.

[2.5% efficient organic plastic solar cells](#)

(2001) *Applied Physics Letters*, 78 (6), pp. 841-843. 被引用 2424 次.

doi: 10.1063/1.1345834

- 2 Green, M.A., Emery, K., King, D.L., Igari, S., Warta, W.

[Solar cell efficiency tables \(version 18\)](#)

(2001) *Progress in Photovoltaics: Research and Applications*, 9 (4), pp. 287-293. 被引用 35 次.

doi: 10.1002/pip.389

- 查看参考文献 (灵感来源)
- 利用参考文献回溯至研究的根源

选题和开题


了解领域中的研究历史和研究背景 – 把握课题脉络

查看相关文献，了解相似的研究有哪些（基于共同的参考文献）

Science

Volume 295, Issue 5564, 29 March 2002, Pages 2425-2427

Hybrid nanorod-polymer **solar cells** (Article)

Huynh, W.U., Dittmer, J.J., Alivisatos, A.P. 

Department of Chemistry, University of California, Berkeley, Materials Science Division, Berkeley, CA 94720, United States

摘要

We demonstrate that semiconductor nanorods can be used to fabricate readily processed and efficient hybrid **solar cells** together with polymers. By we can change the distance on which electrons are transported directly through the thin film device. Tuning the band gap by altering the nanorod rac the overlap between the absorption spectrum of the cell and the solar emission spectrum. A photovoltaic device consisting of 7-nanometer by 60-nanometer the conjugated polymer poly-3(hexylthiophene) was assembled from solution with an external quantum efficiency of over 54% and a monochromatic of 6.9% under 0.1 milliwatt per square centimeter illumination at 515 nanometers. Under Air Mass (A.M.) 1.5 Global solar conditions, we obtained a of 1.7%.

相关文献

Controlling the morphology of nanocrystal-polymer composites for solar cells

Huynh, W.U. , Dittmer, J.J. , Libby, W.C.
(2003) *Advanced Functional Materials*

Synthesis of size-controlled CdSe quantum dots and characterization of CdSe-conjugated polymer blends for hybrid solar cells

Choi, S.-H. , Song, H. , Park, I.K.
(2006) *Journal of Photochemistry and Photobiology A: Chemistry*

Photovoltaic devices using blends of branched CdSe nanoparticles and conjugated polymers

Sun, B. , Marx, E. , Greenham, N.C.
(2003) *Nano Letters*

查看基于参考文献的所有相关文献

基于如下条件在 Scopus 中查找更多相关文献:

作者 > 关键字 >


选题和开题

了解领域中的研究历史和研究背景 – 把握课题脉络

Science

Volume 295, Issue 5564, 29 March 2002, Pages 2425-2427

Hybrid nanorod-polymer solar cells (Article)

Huynh, W.U., Dittmer, J.J., Alivisatos, A.P. 

Department of Chemistry, University of California, Berkeley, Materials Science Division, Berkeley, CA 94720, United States


摘要

[查看参考文献 \(21\)](#)

We demonstrate that semiconductor nanorods can be used to fabricate readily processed and efficient hybrid solar cells together with polymers. By controlling nanorod length, we can change the distance on which electrons are transported directly through the thin film device. Tuning the band gap by altering the nanorod radius enabled us to optimize the overlap between the absorption spectrum of the cell and the solar emission spectrum. A photovoltaic device consisting of 7-nanometer by 60-nanometer CdSe nanorods and the conjugated polymer poly(3-hexylthiophene) was assembled from solution with an external quantum efficiency of over 54% and a monochromatic power conversion efficiency of 6.9% under 0.1 milliwatt per square centimeter illumination at 515 nanometers. Under Air Mass (A.M.) 1.5 Global solar conditions, we obtained a power conversion efficiency of 1.7%.

SciVal 热门主题

主题: Solar cells | Nanocrystals | poly(3-hexylthiophene P3HT)

突出百分比: 95.882  



- 爱思唯尔科研管理解决方案SciVal中的独特功能，以独特的视角，帮助研究者发现新兴的研究趋势。
- “Topic”是具有共同、集中的知识兴趣的文档集合，如关于某个特定问题的研究。
- “prominence”主要基于对某一“Topic”中最近出版论文的引用、浏览情况以及收录期刊的评价指标。

选题和开题

了解领域中的研究历史和研究背景 – 把握课题脉络

通过“SciVal Topic Prominence”直接快速查看该“Topic”中的代表性文章“Representative documents”。



新
施引文献



参考文献
深



广
相关文献



ELSEVIER

追踪研究领域最新进展

获取研究相关最新进展、保证所开展研究的创新性

- 追踪课题
- 关注研究者及期刊动态

追踪研究领域最新进展

Scopus

检索 来源出版物 通知 列表 帮助 ▾ SciVal ↗ Tingting Du ▾

144,800 文献搜索结果

查看次要文献 查看 302556 专利搜索结果 Search your library View 728 Mendeley Data

TITLE-ABS-KEY ("solar cells")

编辑 保存 设置通知 设置推送流

追踪课题

在搜索结果内搜索...

精简搜寻结果

限制范围 排除

访问类型

年份

作者姓名

学科类别

出版阶段

文献类型

ELSEVIER

分析搜索结果

显示所有摘要 排序对象: 施引文献 (最多数量)

全部 CSV 导出 下载 查看引文概览 查看施引文献 保存到列表

| | 文献标题 | 作者 | 年份 | 来源出版物 | 施引文献 |
|--------------------------|---|--|------|---|-------|
| <input type="checkbox"/> | 1 A low-cost, high-efficiency solar cell based on dye-sensitized colloidal TiO ₂ films | O'Regan, B., Grätzel, M. | 1991 | Nature 353(6346), pp. 737-740 | 21774 |
| | 查看摘要 | Full Text View at Publisher 相关文章 | | | |
| <input type="checkbox"/> | 2 Inhibited spontaneous emission in solid-state physics and electronics 公开访问 | Yablonovitch, E. | 1987 | Physical Review Letters 58(20), pp. 2059-2062 | 12133 |
| | 查看摘要 | Full Text View at Publisher 相关文章 | | | |

追踪研究领域最新进展

追踪、关注等个性化功能，需注册后使用

The image shows the Scopus website interface. At the top left is the Scopus logo. The top navigation bar includes links for 搜索 (Search), 来源出版物 (Source Publications), 通知 (Notifications), 列表 (Lists), 帮助 (Help), SciVal, and a highlighted 注册 (Register) button. Below this is a dark blue header with 文献搜索 (Literature Search) and 比较 (Compare). The main content area has tabs for 文献 (Literature), 作者 (Authors), 归属机构 (Affiliations), and 高级 (Advanced). A search bar is present with a dropdown menu set to 论文标题、摘要、关键字 (Article titles, abstracts, keywords) and a plus sign icon. An example search query is provided: 例如: "Cognitive architectures" AND robots. There is also a 限制 (Restrictions) link and a 重置表单 (Reset form) button. The footer includes 提供机构 (Provided by) The Scopus Team and a 帮助 (Help) icon.

Scopus

搜索 来源出版物 通知 列表 帮助 SciVal **注册** 登录

文献搜索 比较

文献 作者 归属机构 高级 搜索

搜索 论文标题、摘要、关键字

例如: "Cognitive architectures" AND robots

> 限制

重置表单 搜索

提供机构
The Scopus Team

帮助

ELSEVIER

追踪研究领域最新进展

追踪课题 – 保存搜索式

Scopus

检索 来源出版物 通知 列表 帮助 ▾ SciVal ↗ Tingting Du ▾



144,800 文献搜索结果

查看次要文献 查看 302556 专利搜索结果 Search your library View 728 Mendeley Data

点击保存搜索式

TITLE-ABS-KEY ("solar cells")

编辑 保存 设置通知 设置馈送流

在搜索结果内搜索...



精简搜寻结果

限制范围 排除

访问类型 ▾

年份 ▾

作者姓名 ▾

学科类别 ▾

出版阶段 ▾

文献类型 ▾

ELSEVIER

分析搜索结果

显示所有摘要 排序对象: 施引文献 (最多数量) ▾

全部 ▾ CSV 导出 ▾ 下载 查看引文概览 查看施引文献 保存到列表 ... 打印 邮件 分享

| | 文献标题 | 作者 | 年份 | 来源出版物 | 施引文献 |
|--------------------------|---|--------------------------|------|---|-------|
| <input type="checkbox"/> | 1 A low-cost, high-efficiency solar cell based on dye-sensitized colloidal TiO ₂ films | O'Regan, B., Grätzel, M. | 1991 | Nature 353(6346), pp. 737-740 | 21774 |
| | 查看摘要 ▾ Full Text View at Publisher 相关文章 | | | | |
| <input type="checkbox"/> | 2 Inhibited spontaneous emission in solid-state physics and electronics 公开访问 | Yablonovitch, E. | 1987 | Physical Review Letters 58(20), pp. 2059-2062 | 12133 |
| | 查看摘要 ▾ Full Text View at Publisher 相关文章 | | | | |

追踪研究领域最新进展

Scopus

搜索 来源出版物 通知 列表 帮助 ▾ SciVal ▶

Tingting Du

个人资料访问 ▾

我的 Scopus ▾

仪表盘

保存的搜索

通知

保存的列表

分为一组的作者

我的组织 ▾

SciVal

Mendeley

Pure

隐私中心

文献搜索

查看保存的搜索、列表及设置的通知

文献 作者 归属机构 高级

搜索 论文标题、摘要、关键字

例如: "Cognitive architectures" AND robots

> 限制

重置表单 搜索 Q

搜索历史

组合搜索...

| | | |
|---|---------------------------------|----------------|
| 1 | TITLE-ABS-KEY ("Heart Failure") | 282,214 文献搜索结果 |
|---|---------------------------------|----------------|

ELSEVIER

追踪研究领域最新进展

追踪课题 – 保存搜索式

Scopus

检索 来源出版物 通知 列表 帮助 ▾ SciVal ↗ Tingting Du ▾ ☰

保存的搜索

+ 新建保存的搜索

保存后可直接点击查看搜索结果，
随Scopus不断更新搜索结果

组合搜索...

例如: #1 AND NOT #3. 🔍 ?

| ID | 名称 | 搜索式 | 文献 | 上次运行日期 | 操作 |
|-----|-------------------------|---|---------|------------|----|
| #15 | solar cells | TITLE-ABS-KEY ("solar cells") | 144,800 | 2019-04-19 | + |
| #14 | global libraries | AFFIL (library) | 79,702 | 2019-04-10 | + |
| #13 | library research output | AFFIL (library) OR AFFIL (library W/15 library) | 79,702 | 2019-04-10 | + |



追踪研究领域最新进展

追踪课题 – 设置通知

编辑 保存 设置通知 设置推送流

设置通知接收与课题相关的新文献提醒

设置通知

通过电子邮件发送检索提醒
如果您输入的电子邮件地址属于另一个人，请确保您有权为他们注册此通知服务。您的电子邮件地址将包含在随后的电子邮件通知中。

检索词
{Mathematical Sciences} W/15 {Fudan University}

编辑

* 必填字段

通知名称 *

"solar cells"

电子邮件地址 *

t.du@elsevier.com

例如, jsmith@mail.com, psmith@mail.com
使用分号、逗号、空格或回车分隔多个电子邮件地址。

频率

每周

日期

星期五

状态

活动 不活动

设置通知

显示所有摘要 排序对象: 施引文献 (最多数量)

下载 查看引文概览 查看施引文献 保存到列表

| | 作者 | 年份 | 来源出版物 | 施引文献 |
|---|---|------|--|-------|
| high-efficiency solar cell based on dye-sensitized colloidal TiO ₂ films | O'Regan, B., Grätzel, M. | 1991 | Nature 353(6346), pp. 737-740 | 21774 |
| spontaneous emission in solid-state physics and electronics | Yablonovitch, E. | 1987 | Physical Review Letters 58(20), pp. 2059-2062 | 12133 |
| Engineering of Thermal Processes: Fourth Edition (Book) | Duffie, J.A., Beckman, W.A. | 2013 | Solar Engineering of Thermal Processes: Fourth Edition | 6924 |
| High-efficiency solar cells | Hagfeldt, A., Boschloo, G., Sun, L., Kloo, L., Pettersson, H. | 2010 | Chemical Reviews 110(11), pp. 6595-6663 | 5867 |



ELSEVIER

追踪研究领域最新进展

追踪课题 – 设置通知

Scopus

检索 来源出版物 通知 列表 帮助 ▾ SciVal ↗ Tingting Du ▾ ☰










通知

关于通知 ⓘ

检索通知 作者引文通知 文献引文通知

每当这些检索之一在 Scopus 中呈现新的检索结果时，您便会收到检索通知。

🔗 设置新的检索通知


| 保存日期 | 通知名称 | 检索式 | 频率 | 上次运行日期 | 操作 | 状态 |
|----------------|----------------------|-------------------------------------|----|----------------------------|---|---|
| 1. 19 Apr 2019 | "solar cells" | TITLE-ABS-KEY("solar cells") | 每周 | 19 Apr 2019 检查是否存在新检索结果 |    | <input checked="" type="radio"/> Active <input type="radio"/> Inactive |
| 2. 20 Mar 2019 | "induced seismicity" | TITLE-ABS-KEY("induced seismicity") | 每周 | 10 Apr 2019 检查是否存在新检索结果 |    | <input checked="" type="radio"/> Active <input type="radio"/> Inactive |
| 3. 12 Dec 2018 | "rural migrant" | TITLE-ABS-KEY("Rural migrant") | 每周 | 10 Apr 2019 检查是否存在新检索结果 |    | <input checked="" type="radio"/> Active <input type="radio"/> Inactive |



追踪研究领域最新进展

追踪课题 – 将文献保存到列表

TITLE-ABS-KEY ("solar cells")


 编辑  保存  设置通知  设置推送流


在搜索结果内搜索...





精简搜索结果


限制范围 排除


访问类型 


年份 


作者姓名 

学科类别 


出版阶段 


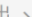



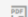
文献类型 



来源出版物标题 

关键字 

分析搜索结果

显示所有摘要 排序对象: 日期 (最新) 

全部  CSV 导出  下载 查看引文概览 查看施引文献 **保存到列表**    

| | 文献标题 | 作者 | 年份 | 来源出版物 | 施引文献 |
|----------------------------|---|--|------|--|------|
| <input type="checkbox"/> 1 | Heteroatom substitution-induced asymmetric A–D–A type non-fullerene acceptor for efficient organic solar cells | Li, C., Song, J., Cai, Y., (...), Woo, H.Y., Sun, Y. | 2020 | Journal of Energy Chemistry 40, pp. 144-150 | 0 |
| | 查看摘要  | Full Text View at Publisher 相关文章 | | | |
| <input type="checkbox"/> 2 | Tuning the optoelectronic properties of vinylene linked perylene diimide dimer by ring annulation at the inside or outside bay positions for fullerene-free organic solar cells | Yang, J., Chen, F., Cong, P., (...), Zhang, B., Zhou, E. | 2020 | Journal of Energy Chemistry 40, pp. 112-119 | 0 |
| | 查看摘要  | Full Text View at Publisher 相关文章 | | | |
| <input type="checkbox"/> 3 | Effect of cation (Li ⁺ , Na ⁺ , K ⁺ , Rb ⁺ , Cs ⁺) in aqueous electrolyte on the electrochemical redox of Prussian blue analogue (PBA) cathodes | Phadke, S., Mysyk, R., Anouti, M. | 2020 | Journal of Energy Chemistry | 0 |

点选感兴趣的文献保存到列表，方便以后集中进行阅读



ELSEVIER

追踪研究领域最新进展

追踪课题 – 将文献保存到列表

Scopus

检索 来源出版物 通知 列表 帮助 ▾ SciVal » Tingting Du ▾ ☰

保存的列表

Help ⓘ




点选感兴趣的文献保存到列表，方便以后集中进行阅读

| 列表名称 | 文献 | 创建日期 | Actions |
|-------------------|----|-------------|---|
| 1. My publication | 1 | 12 Dec 2018 | Edit Delete |

^ 页首

分析搜索结果

将您的列表导出到 SciVal 显示所有摘要 排序对象: 日期 (最新)

全部 ▾ 存入保存的列表 删除 CSV 导出 ▾ 下载 查看施引文献 ...   

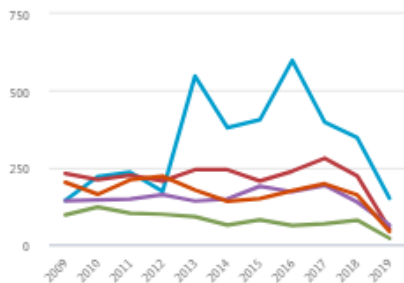
| 文献标题 | 作者 | 年份 | 来源出版物 | 施引文献 |
|--|--|------|---|------|
| <input type="checkbox"/> 1 Hole transport materials doped to absorber film for improving the performance of the perovskite solar cells | Wang, Q., Li, H., Zhuang, J., (...), Wang, Y., Lei, J. | 2019 | Materials Science in Semiconductor Processing 98, pp. 113-120 | 0 |

查看摘要 ▾ [Full Text](#) [View at Publisher](#) [相关文章](#)

持续跟踪研究领域最新进展

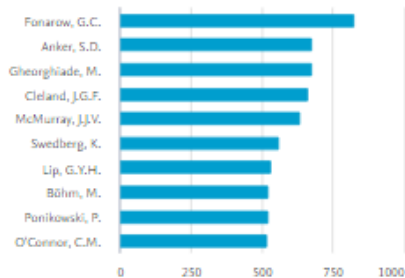
关注研究者及期刊动态 – 可利用搜索结果分析功能快速定位高发文期刊及作者

Documents per year by source



期刊

Documents by author



研究者

追踪研究领域最新进展

关注研究者及期刊动态

Scopus

检索 来源出版物 通知 列表 帮助 ▾ SciVal » Tingting Du ▾

分析搜索结果

< 返回搜索结果 导出 打印 电子邮件

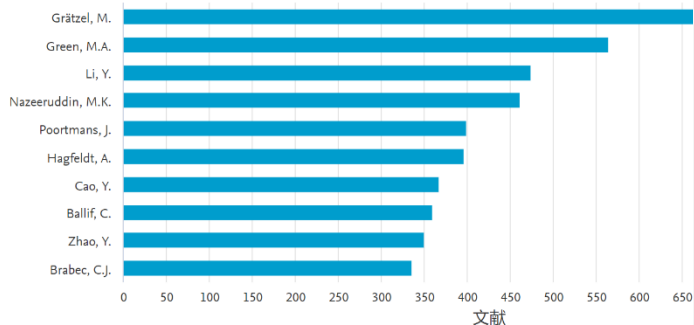
TITLE-ABS-KEY ("solar cells")

144,800 文献搜索结果

选择要分析的年份范围: 1959 到 2020 分析

| 作者个 | 文献 ↓ |
|-------------------|------|
| Grätzel, M. | 777 |
| Green, M.A. | 563 |
| Li, Y. | 473 |
| Nazeeruddin, M.K. | 461 |
| Poortmans, J. | 398 |
| Hagfeldt, A. | 395 |
| Cao, Y. | 366 |
| Ballif, C. | 359 |
| Zhao, Y. | 349 |

按作者划分的文献
比较最多 15 位作者的文献数量



144,861 文献搜索结果

| 来源出版物 ↓ | 文献 ↑ |
|---|------|
| Conference Record Of The IEEE Photovoltaic Specialists Conference | 7687 |
| Solar Energy Materials And Solar Cells | 5566 |
| Proceedings Of SPIE The International Society For Optical Engineering | 2953 |
| Thin Solid Films | 2822 |
| Applied Physics Letters | 2821 |
| Journal Of Applied Physics | 2250 |
| ACS Applied Materials And Interfaces | 2181 |



通过文献搜索结果分析定位该领域的期刊及作者

追踪研究领域最新进展

关注研究者及期刊动态

Scopus

检索 [来源出版物](#) 通知 列表 帮助 ▼ SciVal ↗ Tingting Du ▼ ☰

来源出版物详情

[反馈](#) [比较来源出版物](#) ▶

Chemical Communications

以前称为: [Journal of the Chemical Society D: Chemical Communications](#)

Scopus 涵盖范围年份: 从 1965 到 1968, 从 1996 到 2018

出版商: RSC

ISSN: 1359-7345 E-ISSN: 1364-548X

学科类别: [Materials Science: Ceramics and Composites](#) [Materials Science: Metals and Alloys](#) [Materials Science: Surfaces, Coatings and Films](#) [Materials Science: Materials Chemistry](#)
[Materials Science: Electronic, Optical and Magnetic Materials](#) [Chemistry: General Chemistry](#) [Chemical Engineering: Catalysis](#)

[查看所有文献](#)

[设置文献通知](#)

[Journal Homepage](#)

 Copac

 EzB

[更多](#) ▶

[访问 Scopus 期刊度量标准功能](#) ↗

CiteScore 2017

6.03



SJR 2017

2.555



SNIP 2017

1.127



追踪期刊中的最新收录文献

追踪研究领域最新进展

关注研究者及期刊动态

Chemical Communications

以前称为: [Journal of the Chemical Society D: Chemical Communications](#)

Scopus 涵盖范围年份: 从 1965 到 1968, 从 1996 到 2018

出版商: RSC

ISSN: 1359-7345 E-ISSN: 1364-548X

学科类别: [Materials Science: Ceramics and Composites](#) [Materials Science: Metals and Alloys](#) [Materials Science: Surfaces, Coatings and Films](#) [Materials Science: Materials Chemistry](#)
[Materials Science: Electronic, Optical and Magnetic Materials](#) [Chemistry: General Chemistry](#) [Chemical Engineering: Catalysis](#)

[查看所有文献](#)

[设置文献通知](#)

[Journal Homepage](#)

[Copac](#)

[EzB](#)

[更多](#)

查看期刊在各学科中的排名情况

[访问 Scopus 期刊度量标准功能](#)

CiteScore 2017

6.03



SJR 2017

2.555



SNIP 2017

1.127



[CiteScore](#) [CiteScore 排名趋势](#) [Scopus 内容涵盖范围](#)

CiteScore 2017



使用来自 30 April, 2018 的数据计算

CiteScore 排名



6.03 =



引文计数 2017

64,607 次引用 >



*文献 2014 - 2016

10,712 篇文献 >

*CiteScore 包括所有可用的文献类型

[查看 CiteScore 的计算方法](#)

[CiteScore 常见问题解答](#)

CiteScoreTracker 2018



上次更新时间 11 April, 2019

每月更新

6.08 =



引文计数 2018

到目前为止 59,286 次引用 >



文献 2015 - 2017

到目前为止 9,743 篇文献 >

| 类别 | 排名 | 百分位 |
|---|--------|------|
| Materials Science Ceramics and Composites | #4/96 | 96th |
| Materials Science Metals and Alloys | #5/147 | 96th |
| Materials Science Surfaces, Coatings and Films | #5/109 | 95th |

[查看 CiteScore 趋势](#) [将 CiteScore 添加到您的网站](#)

追踪研究领域最新进展

关注研究者及期刊动态

Chemical Communications

以前称为: Journal of the Chemical Society D: Chemical Communications

Scopus 涵盖范围年份: 从 1965 到 1968, 从 1996 到 2018

出版商: RSC

ISSN: 1359-7345 E-ISSN: 1364-548X

学科类别: [Materials Science: Ceramics and Composites](#) [Materials Science: Metals and Alloys](#) [Materials Science: Surfaces, Coatings and Films](#) [Materials Science: Materials Chemistry](#) [Materials Science: Electronic, Optical and Magnetic Materials](#) [Chemistry: General Chemistry](#) [Chemical Engineering: Catalysis](#)

[查看所有文献](#) [设置文献通知](#) [Journal Homepage](#) [Copac](#) [EzB](#) [更多 >](#)

期刊 SCOPUS 期刊度量指标

CiteScore 2017
6.03

SJR 2017
2.555

SNIP 2017
1.127

CiteScore [CiteScore 排名趋势](#) Scopus

查看各学科下期刊排名列表，
可关注同领域其它期刊

[导出分类内容](#)

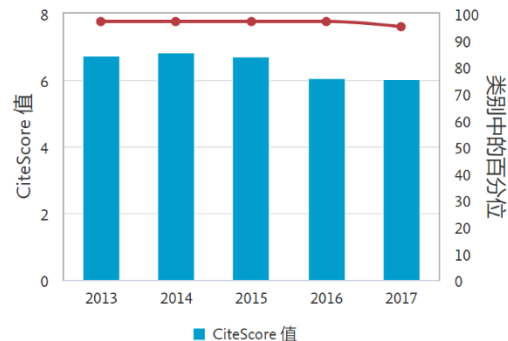
CiteScore 排名 2017

类别

Materials Chemistry

| 排名 | 来源出版物名称 | CiteScore 2017 | 百分位 |
|-----|--|----------------|----------|
| #11 | Chemical Communications | 6.03 | 第 95 百分位 |
| 259 | | | |
| #1 | Nature Reviews Materials | 25.79 | 第 99 百分位 |
| #2 | Progress in Polymer Science | 24.94 | 第 99 百分位 |
| #3 | Surface Science Reports | 15.10 | 第 99 百分位 |
| #4 | Wiley Interdisciplinary Reviews: Computational Molecular Science | 13.58 | 第 98 百分位 |

CiteScore 趋势



寻找合适的期刊投稿

论文发表

- 在选择期刊投稿时对期刊进行初筛
- 推荐审稿人（依据期刊投稿的具体要求）

寻找适合的期刊

选择合适期刊投稿 - 按照学科选刊

Scopus

检索 [来源出版物](#) 通知 列表 帮助 SciVal Tingting Du

来源出版物

学科类别

期刊和丛书的 CiteScore 度
Scopus 中的 CiteScore 度量标准
• 综合
• 易懂
• 最新且免费
使用此页面查找来源出版物并查
多了解 CiteScore。

过滤器优化列表
应用 清除筛选器

显示选项
 仅显示公开访问期刊
 仅显示以下来源出版物

最小 0 文献

选取学科类别 (27个一级学科, 334个二级学科)

- Biomaterials
- Ceramics and Composites
- Electronic, Optical and Magnetic Materials
- General Materials Science
- Materials Chemistry
- Materials Science (miscellaneous)
- Metals and Alloys
- Polymers and Plastics
- Surfaces, Coatings and Films
- Mathematics
 - Algebra and Number Theory
 - Analysis

应用

2013 2014 2015 2016 2017 2018

3年内的文献

2017年内的引文

更

下载 Scopus 来源出版物列表

查看如下年份的度量标准: 2017

| 百分位数 | 引文 2017 | 文献 2014-16 | 被引用比率 | SNIP | | |
|------------------------------------|------------|---------------|--------|------|----|--------|
| Ca-A Cancer Journal for Clinicians | 130.47 | 99% | 16,961 | 130 | 70 | 88.164 |

Copac E.Z.B.

ELSEVIER

寻找适合的期刊

选择合适期刊投稿 - 按照学科选刊

来源出版物

学科类别



输入学科类别

学科: Materials Chemistry x

期刊和丛书的 CiteScore 度量标准

Scopus 中的 CiteScore 度量标准是:

- 综合
- 易懂
- 最新且免费

使用此页面查找来源出版物并查看关联的度量标准。在展示研究影响时使用定性和定量度量标准。务必使用多个定量度量标准。 [更多了解 CiteScore。](#)



只关注期刊

应用 清除筛选器

显示选项

- 仅显示公开访问期刊
- 仅显示以下来源出版
- 最小 0 文献 (前3年)
- CiteScore 最高千分位数
- 仅显示前 10% 的标题
- 第一四分位数

来源出版物类型

- 期刊
- 丛书
- 会议题录
- 贸易出版物

334 个结果

查看期刊指标及期刊收录文章主题

下载 Scopus 来源出版物列表

查看如下年份的度量标准: 2017

来源出版物名称 ↓

CiteScore ↓

最高百分位数 ↓

引文
2017 ↓

文献
2014-16 ↓

被引用比率 ↓

SNIP ↓

Nature Reviews Materials

25.79

99%
1/76
Biomaterials

2,631

102

66

9.922

Progress in Polymer Science

24.94

99%
1/96
Ceramics and
Composites

4,289

172

98

7.288

Copac E2B

寻找适合的期刊

选择合适期刊投稿 - 按照学科选刊

Scopus

检索 来源出版物 通知 列表 帮助 ▾ SciVal ↗ Tingting Du ▾ ☰

331 文献搜索结果

期刊 Nature Reviews Materials 文献列表

查看次要文献 View 479577 Mendeley Data

SOURCE-ID (21100812243)

✎ 编辑 📁 保存 🔔 设置通知 📧 设置馈送流

点击“显示所有摘要”方便浏览录用稿件特点

在搜索结果内搜索... 🔍

精简搜寻结果

限制范围 排除

访问类型 ⌵

年份 ⬆

2019 (37) >

2018 (99) >

2017 (91) >



🔊 分析搜索结果

显示所有摘要

排序对象: 日期 (最新) ▾

全部 ▾ CSV 导出 ▾ 下载 查看引文概览 查看施引文献 保存到列表 ... 📄 ✉ 📄

| | 文献标题 | 作者 | 年份 | 来源出版物 | 施引文献 |
|----------------------------|--------------------|---------------|------|--|------|
| <input type="checkbox"/> 1 | Determined to move | Horejs, C.-M. | 2019 | Nature Reviews Materials 4(4), pp. 225 | 0 |

Full Text View at Publisher 相关文章

寻找适合的期刊

选择合适期刊投稿 - 按照课题选刊

144,800 文献搜索结果

[查看次要文献](#) [查看 302556 专利搜索结果](#) [Search your library](#) [View 728 Mendeley Data](#)

TITLE-ABS-KEY ("solar cells")

[编辑](#) [保存](#) [设置通知](#) [设置推送流](#)

点击分析搜索结果

在搜索结果内搜索...



分析搜索结果

[显示所有摘要](#) 排序对象: [日期 \(最新\)](#)

精简搜索结果

[限制范围](#) [排除](#)

访问类型 [①](#)

年份

- 2020 (3) >
- 2019 (4,273) >
- 2018 (13,290) >
- 2017 (12,913) >
- 2016 (12,286) >
- 2015 (12,088) >
- 2014 (12,001) >
- 2013 (10,554) >

全部 [CSV 导出](#) [下载](#) [查看引文概览](#) [查看施引文献](#) [保存到列表](#) [...](#) [打印](#) [邮件](#) [分享](#)

| | 文献标题 | 作者 | 年份 | 来源出版物 | 施引文献 |
|----------------------------|---|--|------|---|------|
| <input type="checkbox"/> 1 | Heteroatom substitution-induced asymmetric A-D-A type non-fullerene acceptor for efficient organic solar cells | Li, C., Song, J., Cai, Y., (...), Woo, H.Y., Sun, Y. | 2020 | Journal of Energy Chemistry 40, pp. 144-150 | 0 |
| | 查看摘要 Full Text View at Publisher 相关文章 | | | | |
| <input type="checkbox"/> 2 | Tuning the optoelectronic properties of vinylene linked perylene diimide dimer by ring annulation at the inside or outside bay positions for fullerene-free organic solar cells | Yang, J., Chen, F., Cong, P., (...), Zhang, B., Zhou, E. | 2020 | Journal of Energy Chemistry 40, pp. 112-119 | 0 |
| | 查看摘要 Full Text View at Publisher 相关文章 | | | | |
| <input type="checkbox"/> 3 | Effect of cation (Li ⁺ , Na ⁺ , K ⁺ , Rb ⁺ , Cs ⁺) in aqueous electrolyte on the electrochemical redox of Prussian blue analogue (PBA) cathodes | Phadke, S., Mysyk, R., Anouti, M. | 2020 | Journal of Energy Chemistry pp. 31-38 | 0 |

寻找适合的期刊

选择合适期刊投稿 - 按照课题选刊

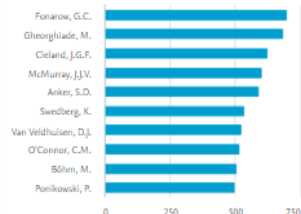
按来源出版物划分，浏览高发文期刊

单击下面的卡片查看其他数据

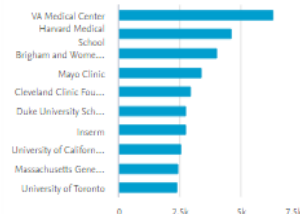
按来源出版物划分的各年度文献



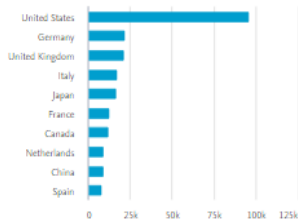
按作者划分的文献



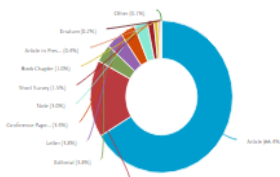
按归属机构划分的文献



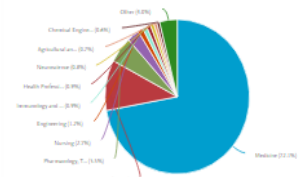
按国家/地区划分的文献



按类型划分的文献



按学科类别划分的文献



寻找适合的期刊

选择合适期刊投稿 - 按照课题选刊

分析搜索结果

返回搜索结果

TITLE-ABS-KEY ("solar cells")

高发文期刊结合期刊评价指标数据CiteScore、SJR 和 SNIP

导出 打印 电子邮件

144,800 文献搜索结果

选择要分析的年份范围: 1959 到 2020 分析

来源出版物 ↓

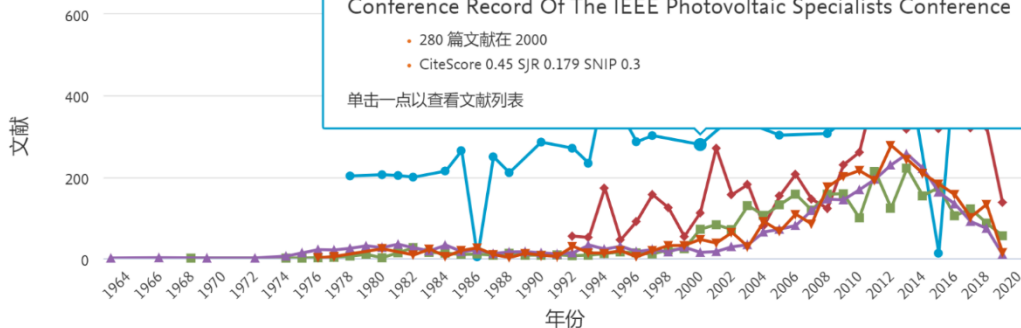
| 来源出版物 | 文献 |
|---|------|
| <input checked="" type="checkbox"/> Conference Record Of The IEEE Photovoltaic Specialists Conference | 7687 |
| <input checked="" type="checkbox"/> Solar Energy Materials And Solar Cells | 5566 |
| <input checked="" type="checkbox"/> Proceedings Of SPIE The International Society For Optical Engineering | 2953 |
| <input checked="" type="checkbox"/> Thin Solid Films | 2822 |
| <input checked="" type="checkbox"/> Applied Physics Letters | 2820 |
| <input type="checkbox"/> Journal Of Applied Physics | 2750 |
| <input type="checkbox"/> ACS Applied Materials And Interfaces | |
| <input type="checkbox"/> Journal Of Materials Chemistry A | |

文献 ↑

按来源出版物划分的各年度文献

比较最多 10 个来源出版物的文献数量

比较来源出版物并查看 CiteScore、SJR 和 SNIP 数据



点击查看期刊指标及期刊收录文章主题

Conference Record Of The IEEE Photovoltaic Specialists Conference
Solar Energy Materials And Solar Cells
Thin Solid Films
Proceedings Of SPIE The International Society For Optical Engineering



ELSEVIER

来源出版物 – 出版物评价指标

| 期刊指标 | 基本思想 | 引文区间 | 权重处理 | 自引处理 | 考虑因素 |
|--------------------------|--|------|------|---------------|------------------------|
| Citescore (期刊引用影响力指标) | 期刊前三年发表的论文在统计年的被引频次与该期刊前三年发表的文章总数之比 | 3年 | 无 | 包含自引 | 期刊发文量+引文量 |
| SJR指数 (期刊声望指标) | 由学术期刊被引用多少次与这些引用是来自哪里的重要性或声望性来衡量期刊的影响力。期刊越多的被高声望的期刊引用，期刊的声望就越高 | 3年 | 有 | 限制比例 (33%) | 期刊发文量+引文量+引证期刊声望 |
| SNIP指数(期刊标准化指标) | 从篇均引文数的角度减少不同主题领域引用行为的差异，实现不同主题领域来源期刊的直接比较 | 3年 | 有 | 包含自引 | 期刊发文量+引文量+学科领域间引用行为的差异 |

推荐审稿人（依据期刊投稿的具体要求）

向期刊编辑推荐本人研究领域的有资质的审稿人

Scopus

检索 来源出版物 通知 列表 帮助 ▾ SciVal ▶ Tingting Du ▾ ☰

分析搜索结果

[返回搜索结果](#)

[导出](#) [打印](#) [电子邮件](#)

TITLE-ABS-KEY ("solar cells")

144,800 文献搜索结果

选择要分析的年份范围: 1959 到 2020 [分析](#)

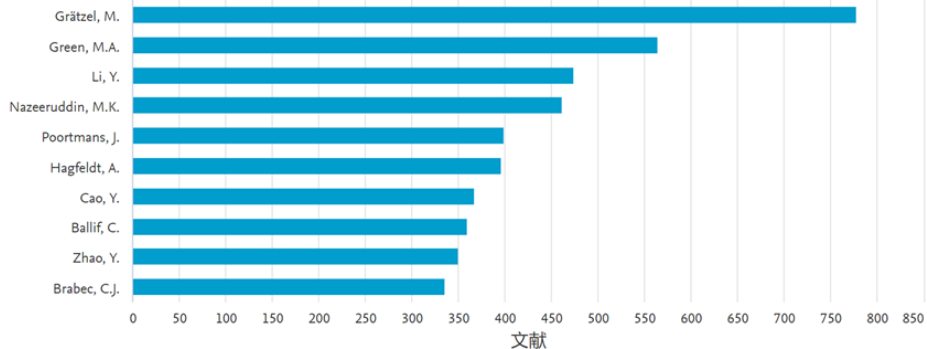
作者 个

文献 ↓

| | |
|-------------------|-----|
| Grätzel, M. | 777 |
| Green, M.A. | 563 |
| Li, Y. | 473 |
| Nazeeruddin, M.K. | 461 |
| Poortmans, J. | 398 |
| Hagfeldt, A. | 395 |
| Cao, Y. | 366 |
| Ballif, C. | 359 |
| Zhao, Y. | 349 |

按作者划分的文献

比较多最多 15 位作者的文献数量



利用分析搜索结果中的按作者划分的文献，从中选取合适的审稿人推荐给期刊编辑

推荐审稿人（依据期刊投稿的具体要求）

向期刊编辑推荐本人研究领域的有资质的审稿人

Green, Martin A.

University of New South Wales (UNSW) Australia, Sydney, Australia
作者 ID: 57202528457

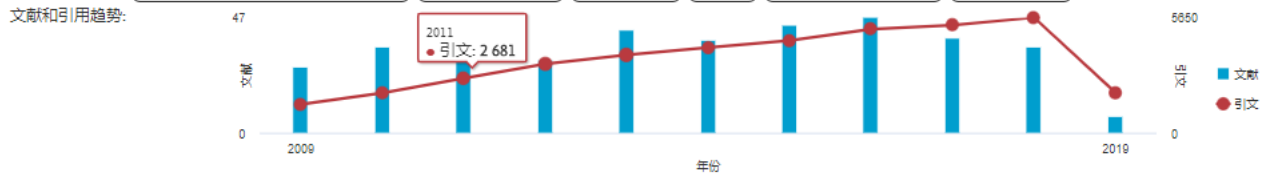
关注该作者

查看可能的匹配作者

ORCID ID: <http://orcid.org/0000-0002-8860-396X>

其他姓名格式: [Green, Martin](#) [Green, Michael A.](#) [Green, Martin L.](#) [Green, Michael](#) [Green, Martin Andrew](#) [Green, Martin A.](#) [Green, M. A.](#) [Green, M.](#) [Green, Marty L.](#) [Green, M. L.](#)

学科类别: [Materials Science](#) [Physics and Astronomy](#) [Engineering](#) [Energy](#) [Chemistry](#) [Computer Science](#) [Mathematics](#) [Chemical Engineering](#)
[Biochemistry, Genetics and Molecular Biology](#) [Environmental Science](#) [Multidisciplinary](#) [Medicine](#) [Earth and Planetary Sciences](#) [Health Professions](#)



993 篇文献 被 35581 篇文献引用 150 位合著作者 作者历史

查看研究者发表文献的摘要，
了解作者的专业领域

以搜索结果格式查看全部 >

SciVal 直接导出 全部保存到列表 设置文献通知 设置文献推送流

| 文献标题 | 作者 | 年份 | 来源出版物 |
|---|---|------|---------------------------------|
| Light- and bias-induced structural variations in metal halide perovskites 公开访问 | Kim, D., Yun, J.S., Sharma, P., (...), Ho-Baillie, A.W.Y., Seidel, J. | 2019 | Nature Communications 10(1),444 |
| 查看摘要 Full Text View at Publisher 相关文献 | | | |
| Laser-induced aluminium-assisted crystallization of Ge-rich Si _x Ge _{1-x} epitaxy on Si | Liu, Z., Hao, X., Huang, J., Ho-Baillie, A., Green, M.A. | 2019 | Thin Solid Films 679, pp. 55-57 |
| 查看摘要 Full Text View at Publisher 相关文献 | | | |

推荐审稿人（依据期刊投稿的具体要求）

向期刊编辑推荐本人研究领域的有资质的审稿人：

- 有从事相关研究的经验
- 无紧密合作
- 非亲友
- 回避有利益冲突的审稿人

保证公平性

小结



选题和开题

- 迅速了解领域中的研究历史和研究背景
- 获取前沿研究信息



持续跟踪研究领域最新进展

- 保证所开展研究的创新性



寻找适合的期刊投稿

- 在选择期刊投稿时对期刊进行初筛
- 推荐审稿人（依据期刊投稿的具体要求）

帮助

Scopus

[搜索](#) [来源出版物](#) [通知](#) [列表](#) [帮助](#) [SciVal](#) [Tingting Du](#) [☰](#)

文献搜索

帮助 ×
教程
联系我们

[比较来源出版物 >](#)

[文献](#) [作者](#) [归属机构](#) [高级](#)

[搜索提示](#)

ELSEVIER

[支持中心](#) [☰](#)

Scopus : 访问和利用 支持中心

[支持中心](#) > [Scopus : 访问和利用 支持中心](#) > [产品使用](#) > [如何使用归属机构搜索结果 ?](#)

[全部主题](#) [v](#) [搜索](#)

[订单和续订](#)

[访问](#)

[产品入门基础培训](#)

[培训](#)

如何使用归属机构搜索结果 ?

上次更新时间 2017-12-21 03:06 下午

运行归属机构搜索后, 系统将显示结果页面, 其中包含与其进行交互的各种选项。

如何操作

单击下面文献搜索结果的相关区域以查看相关部分, 或浏览以下各个主题。



Newton did it with an apple. You'll do it with Scopus.

With up to 230% more coverage on published research across regions worldwide, 12 million author and institutional profiles, and more — your next big discovery starts here.

- > Validate your profile
- > Subscribe to our newsletter



www.scopus.com

www.scival.com

www.mendeley.com

<https://researcheracademy.elsevier.com/>



ELSEVIER

Thank you!

樊亚芳

中国科学技术大学

2019年4月23日





Newton did it with an apple.
You'll do it with Scopus.

With up to 230% more coverage on published research across regions worldwide, 12 million author and institutional profiles, and more — your next big discovery starts here.

- > Validate your profile
- > Subscribe to our newsletter



附录1 如何利用Mendeley进行参考文献管理

附录2 Elsevier Researcher Academy

www.scopus.com

www.scival.com

www.mendeley.com

<https://researcheracademy.elsevier.com/>

附录1

如何利用Mendeley进行参考文献管理

轻松管理文献写作

参考文献管理 - Mendeley®



Mendeley是一款免费的参考文献管理器和学术社交网络，与Scopus共享账号、密码 <https://www.mendeley.com/>

- 随时随地在线访问您的论文
- 生成参考文献
- 从其他研究软件中导入论文（**在线服务器免费个人空间2GB**）
- 使用iOS应用程序移动阅读论文
- 其他功能供使用：与其他科研人员在线协作，求职信息、基金申请信息等

轻松管理文献写作

参考文献管理 - 随时随地在线访问您的论文



建议同时安装桌面版
及移动端

Research on the go with our mobile apps



使用方法以桌面版
为例进行介绍

Download Mendeley Desktop for Windows

Windows 7, 8.1 and 10. [See release notes.](#)



Other systems:  Mendeley Desktop for Mac OS  Mendeley Desktop for Linux

轻松管理文献写作

参考文献管理 - 生成参考文献

直接从Scopus页面导入

全部 保存到 Mendeley 下载 查看引文概览 查看施引文献 保存到列表

导出文献设置

选择您的导出方法

Mendeley RefWorks SciVal RIS 格式
EndNote, 参考文献管理器 CSV Excel BibTeX 纯文本
ASCII 编码的 HTML

| 文献标题 | 作者 | 年份 | 来源出版物 | 施引文献 |
|--|--|------|---|------|
| <input type="checkbox"/> 1 Identity and trust in government: A comparison of locals and migrants in urban China | Niu, G., Zhao, G. | 2018 | Cities 83, pp. 54-60 | 1 |
| 查看摘要 <input type="button" value="Full Text"/> View at Publisher 相关文章 | | | | |
| <input checked="" type="checkbox"/> 2 Internal differentiation within the rural migrant population from the sustainable urban development perspective: Evidence from China 公开访问 | Deng, X., Gong, L., Gao, Y., Cui, X., Xu, K. | 2018 | Sustainability (Switzerland) 10(12),4839 | 0 |
| 查看摘要 <input type="button" value="Full Text"/> View at Publisher 相关文章 | | | | |

文献导出
方式选择
Mendeley

文献详情

< 返回检索结果 | < 上一个 11 / 805 下一个 >

[更多...](#)

Sustainability (Switzerland) [公开访问](#)
Volume 10, Issue 12, 18 December 2018, 论文编号 4839

Internal differentiation within the rural migrant population from the sustainable urban development perspective: Evidence from China (Article) ([公开访问](#))

Deng, X. Gong, L. Gao, Y. Cui, X. Xu, K.

School of Management Engineering, Shandong Jianzhu University, 1000 Fengming Road, Licheng District, Jinan, 250101, China



ELSEVIER

轻松管理文献写作

参考文献管理 - 生成参考文献

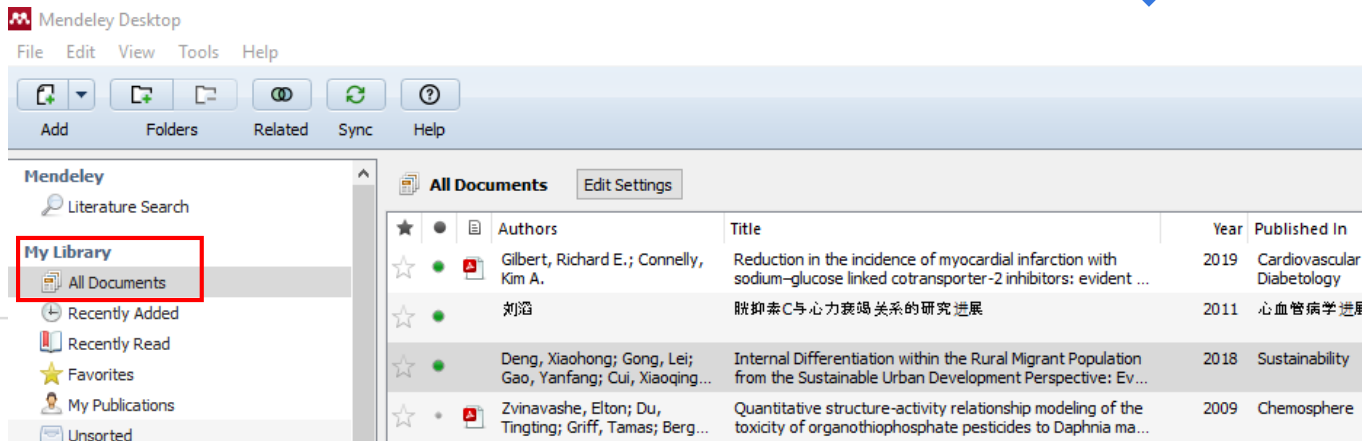
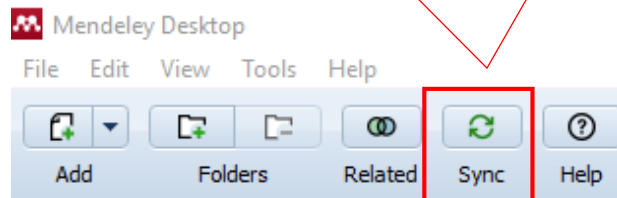
直接从Scopus页面导入

Scopus

文献详情

已将所选文献的数据导出到 Mendeley。在您的文献库中查看。

收到文献导出完成提示后，点击 Mendeley 中的 Sync (同步) 按钮，同步文献列表



轻松管理文献写作

参考文献管理 - 生成参考文献

直接导入pdf

The screenshot shows the Mendeley Desktop application window. The 'File' menu is open, and 'Add Files...' is highlighted with a red box. The 'Documents' table is visible, showing a list of entries with columns for BibTeX format, author, title, journal, year, and added date. A red arrow points from the 'Add Files...' menu item to the table. A red box contains the following instructions:

- 选择Add Files导入全文文献pdf
- 或者直接拖拽pdf至文献列表区域添加
- Mendeley会根据全文文献pdf (英文) 中的信息对文献进行识别

轻松管理文献写作

参考文献管理 - 生成参考文献

直接导入pdf

ggy167.pdf - Adobe Acrobat Reader DC
文件(F) 编辑(E) 视图(V) 窗口(W) 帮助(H)

主页 工具 ggy167.pdf x

118%

751 (1/7)

Geophysical Journal International

Geophys. J. Int. (2018) **214**, 751–757
Advance Access publication 2018 May 11
GJI Seismology

doi: 10.1093/gji/ggy167

Increased likelihood of induced seismicity in highly overpressured shale formations

David W. Eaton¹ and Ryan Schultz²

¹*Department of Geoscience, University of Calgary, Calgary, AB T2N 1N4, Canada*
²*Alberta Geological Survey, Alberta Energy Regulator, Edmonton, AB T6B 2X3, Canada. E-mail: Ryan.Schultz@aer.ca*

Received 2018 April 17; in original form 2018 March 13

轻松管理文献写作

参考文献管理 - 生成参考文献

直接导入pdf

Mendeley Desktop

File Edit View Tools Help

Add Folders Related Sync Help

Search... Tingting TD

Mendeley

- Literature Search

My Library

- All Documents
- Recently Added
- Recently Read
- Favorites
- My Publications
- Unsorted
- Heart Failure

All Documents Edit Settings

| ★ | ● | 📄 | Authors | Title | | | |
|---|---|---|---|--|------|---------------------------------|--------|
| ☆ | ● | | 李晓洁; 刘爽 | 新生代农民工社会融合对策研究 | | | |
| ☆ | ● | 📄 | Deng, Xiaohong; Gong, Lei; Gao, Yanfang; Cui, Xiaoqing; ... | Internal Differentiation within the Rural Migrant Popu from the Sustainable Urban Development Perspectiv | 2018 | Sustainability | Feb 7 |
| ☆ | ● | | 刘滔 | 胱抑素C与心力衰竭关系的研究进展 | 2011 | 心血管病学进展 | Feb 3 |
| ☆ | ● | 📄 | Eaton, David W.; Schultz, Ryan | Increased likelihood of induced seismicity in highly overpressured shale formations | 2018 | Geophysical Journal Internat... | 5:48pm |
| ☆ | ● | 📄 | Niu, Geng; Zhao, Guochang | Religion and trust in strangers among China's rural-urban migrants | 2018 | China Economic Review | Feb 7 |

• Mendeley会根据全文文献pdf (英文) 中的信息对文献进行识别

轻松管理文献写作

参考文献管理 - 生成参考文献

利用DOI搜索文献后添加

The screenshot shows the Mendeley Desktop application window. The 'File' menu is open, and 'Add Entry Manually...' is highlighted with a red box. A red arrow points from this menu item to a text box that says '选择手动输入' (Select manual input). The main window displays a list of documents with columns for Author, Title, Year, Published In, and Added. The 'Filter by Authors' list is visible on the left side of the window.

| Author | Title | Year | Published In | Added |
|--|--|------|----------------------------------|---------|
| | and Subclinical Peripheral Arterial the Jackson Heart Study | 2019 | Journal of the American Heart... | 10:37pm |
| | idence of myocardial infarction with ed cotransporter-2 inhibitors: evident ... | 2019 | Cardiovascular Diabetology | 10:37pm |
| | 微甜素C与心力衰竭关系的研究进展 | 2011 | 心血管病学进展 | Feb 3 |
| ashih, T.; Howard, A... | TRPV1 is a component of the atrial natriuretic signaling complex, and using orally delivered antagonists, presents... | 2019 | Channels (Austin, Tex.) | 11:07pm |
| ; Du, mas; Berg... | Quantitative structure-activity relationship modeling of the toxicity of organothosphosphate pesticides to Daphnia ma... | 2009 | Chemosphere | Jan 29 |
| Gupta, Ankur; Allen, Larry A.; Bhatt, Deepak L.; Cox, Mar... | Association of the hospital readmissions reduction program implementation with readmission and mortality outcomes... | 2018 | JAMA Cardiology | 10:37pm |
| Bidas, Eva; Du, Tingting; Lambert, Ronald J.W. | An explanation for the effect of inoculum size on MIC and the growth/no growth interface | 2008 | International Journal of Food... | Jan 29 |

轻松管理文献写作

参考文献管理 - 生成参考文献

利用DOI搜索文献后添加

doi: [10.1093/gji/ggy167](https://doi.org/10.1093/gji/ggy167)

Increased likelihood of induced seismicity in highly overpressured shale formations

David W. Eaton¹ and Ryan Schultz²

¹Department of Geoscience, University of Calgary, Calgary, AB T2N 1N4, Canada

²Alberta Geological Survey, Alberta Energy Regulator, Edmonton, AB T6B 2X3, Canada. E-mail: Ryan.Schultz@aer.ca

New Document

Author Keywords:

URL:
Add URL...

Catalog IDs

ArXiv ID:

DOI:

PMID:

Files:
Add File...

Other Settings

Unpublished work - exclude from Mendeley Web catalog

Reset Save Cancel

- 将文献DOI复制至Mendeley中，搜索



New Document

Type: Journal Article

Increased likelihood of induced seismicity in highly overpressured shale for...

Authors: D. Eaton, R. Schultz

Journal: *Geophysical Journal Inte...*

Year: 2018

Volume:

Issue:

Pages:

Abstract:

Reset Save Cancel

轻松管理文献写作

参考文献管理 - 生成参考文献

手动添加文献

The screenshot shows the Mendeley Desktop application window. The 'File' menu is open, and 'Add Entry Manually...' is highlighted with a red box. A red arrow points from this menu item to a text box containing the instruction '选择手动输入' (Select manual input). The main window displays a list of documents with columns for Year, Published In, and Added. A 'Filter by Authors' list is visible on the left side of the window.

| Year | Published In | Added |
|------|----------------------------------|---------|
| 2019 | Journal of the American Heart... | 10:37pm |
| 2019 | Cardiovascular Diabetology | 10:37pm |
| 2011 | 心血管病学进展 | Feb 3 |
| 2019 | Channels (Austin, Tex.) | 11:07pm |
| 2009 | Chemosphere | Jan 29 |
| 2018 | JAMA Cardiology | 10:37pm |
| 2008 | International Journal of Food... | Jan 29 |

Filter by Authors

- All
- Afulaj, N.
- Allen, Larry A.
- Benjamin, Emela J.
- Berg, Hans H J van den
- Bhatnagar, Aruni
- Bhatt, Deepak L.
- Bidas, Eva
- Blaha, Michael J.
- Butler, Javed
- Butler, Kenneth R.
- Cain, Loretta R.
- Clark, Donald
- Cornelley, Kim A.
- Correa, Adolfo
- Cox, Margueritte
- DeFillois, Andrew P.

轻松管理文献写作

参考文献管理 - 生成参考文献

手动添加文献



{Reference Type}: Journal Article

{Title}: 地震诱发的高速远程滑坡过程中土结构破坏和土粒子破碎引起的两种不同的液化机理

{Author}: 汪发武;

{Author Address}: 日本岛根大学综合理工学部;

{Journal}: 工程地质学报

{Year}: 2019

{Issue}: 01

{Pages}: 98-107

{Keywords}: 滑坡;土体结构;土粒子破碎;液化

{Abstract}: 本文的主要目的是探讨地震诱发的高速远程滑坡的液化机理。通过排水和不排水环剪的对比试验,以及对地震诱发的不同类型的滑坡实例的现场调查,考察了土结构破坏和土粒子破碎产生的滑动带液化的不同机理。土结构破坏引起的液化在滑坡发生时即可产生,而土粒子破碎引起的液化需要在滑动过程中产生。在此基础上提出了滑动带向滑体内的扩展模型,并分析了两种液化机理引起的滑坡体形态的差异。本文的独到之处在于揭示了土粒子破碎对高速远程滑坡的重要影响,强调了在滑坡灾害预测研究中必须同等重视滑坡体结构和土粒子易破碎性的调查分析。

New Document

Type: Journal Article

No Title

Authors: Authors

Journal:

Year:

Volume:

Issue:

Pages:

Abstract:

Tags:

Reset Save Cancel

New Document

Type: Journal Article

地震诱发的高速远程滑坡过程中土结构破坏和土粒子破碎引起的两种不同的液化机理

Authors: 汪发武

Journal: 工程地质学报

Year: 2019

Volume:

Issue: 01

Pages: 98-107

Abstract:

本文的主要目的是探讨地震诱发的高速远程滑坡的液化机理。通过排水和不排水环剪的对比试验,以及对地震诱发的不同类型的滑

Reset Save Cancel

轻松管理文献写作

参考文献管理 - 从其他研究软件中导入论文

Mendeley Desktop

File Edit View Tools Help

Add Files... Ctrl+O

Add Folder... Ctrl+Shift+O

Watch Folder...

Add Entry Manually...

Import... (highlighted)

Export... Ctrl+E

Merge Documents

Export PDF(s) with Sticky Notes...

Delete Documents

Remove from Folder

Rename Document Files...

Synchronize Library F5

Sign Out (t.du@elsevier.com)

Quit Ctrl+Q

Documents Edit Settings

Search... Tingting TD

| Year | Published In | Added |
|------|----------------------------------|---------|
| 2019 | Journal of the American Heart... | 10:37pm |
| 2019 | Cardiovascular Diabetology | 10:37pm |
| 2011 | 心血管病学进展 | Feb 3 |
| 2019 | Channels (Austin, Tex.) | 11:07pm |
| 2009 | Chemosphere | Jan 29 |
| 2018 | JAMA Cardiology | 10:37pm |
| 2008 | International Journal of Food... | Jan 29 |

Filter by Authors

- All
- Alfajaj, N.
- Allen, Larry A.
- Benjamin, Emelia J.
- Berg, Hans H.J van den
- Bhatnagar, Aruni
- Bhatt, Deepak L.
- Bidias, Eva
- Blaha, Michael J.
- Butler, Javed
- Butler, Kenneth R.
- Cain, Loretta R.
- Clark, Donald
- Connelly, Kim A.
- Correa, Adolfo
- Cox, Margueritte
- DeFilloos, Andrew P.

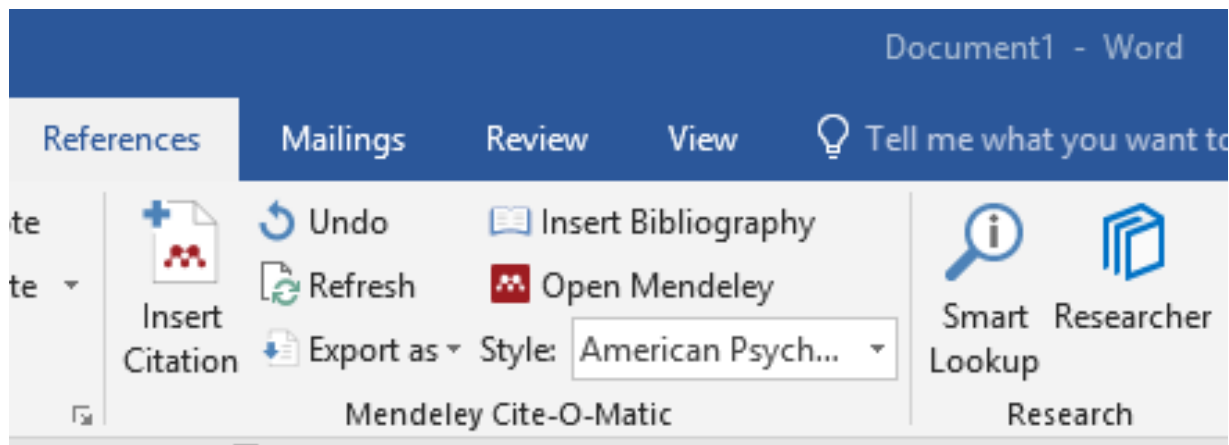
No documents selected

- 支持4种格式导入 Mendeley

轻松管理文献写作

参考文献管理 - 用Mendeley在Word插入参考文献

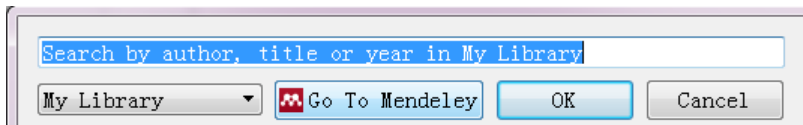
桌面版安装完毕，打开Word。Mendeley在Word的工具栏在Reference（引用）下面。



轻松管理文献写作

参考文献管理 - 用Mendeley在Word插入参考文献

1. 将鼠标移到文中要插入文献的位置，在Word的Reference（引用）中选择Insert Citation，此时会跳出一个对话框



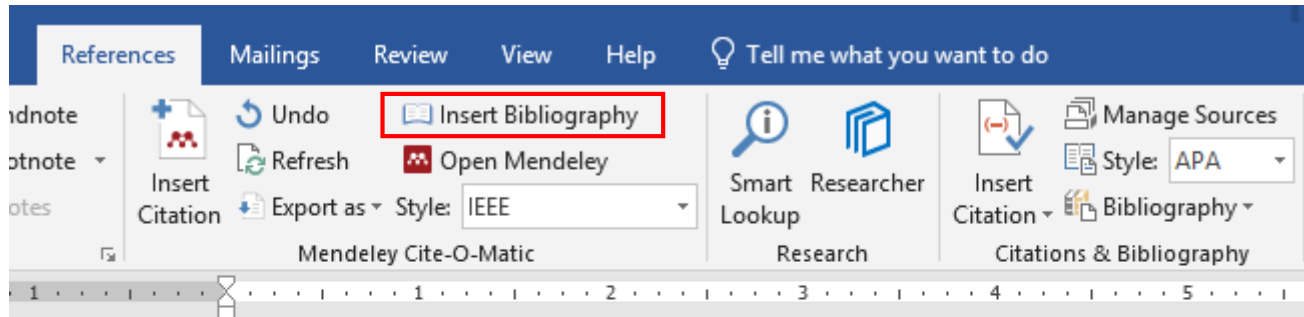
2. 在该对话框中选择Go To Mendeley，在Mendeley中选择需要插入的文献。此时Mendeley会多了一个Cite选择，选择Cite插入



轻松管理文献写作

参考文献管理 - 用Mendeley在Word插入参考文献

3. 此时Word中文末没有没有插入文献的详细信息。将鼠标焦点移到文末插入文献详细信息的位置，然后在Word的Mendeley工具栏中，选择Insert Bibliography即可插入文献的详细信息



在此处插入引用[1]

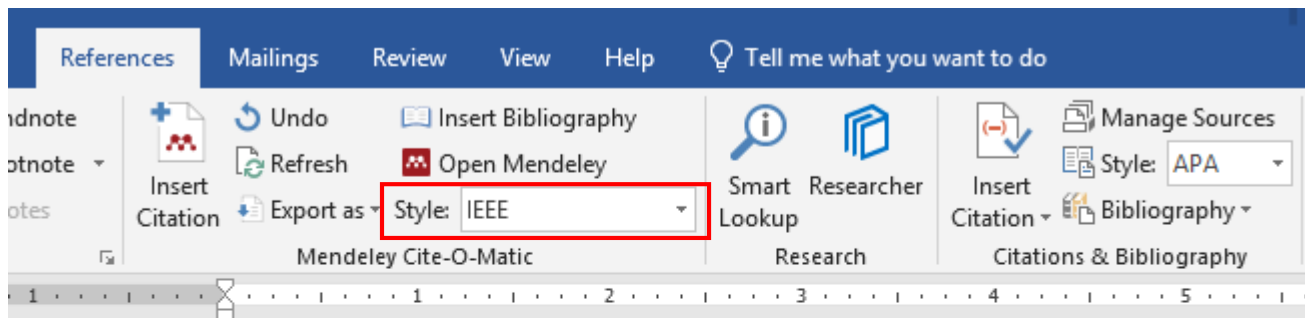
Reference 在此处插入参考文献

- [1] D. W. Eaton and R. Schultz, "Increased likelihood of induced seismicity in highly overpressured shale formations," *Geophys. J. Int.*, May 2018.

轻松管理文献写作

参考文献管理 - 用Mendeley在Word插入参考文献

4. 较常用的引用及参考文献格式可直接在Style中进行选择



在此处插入引用[1]

Reference 在此处插入参考文献

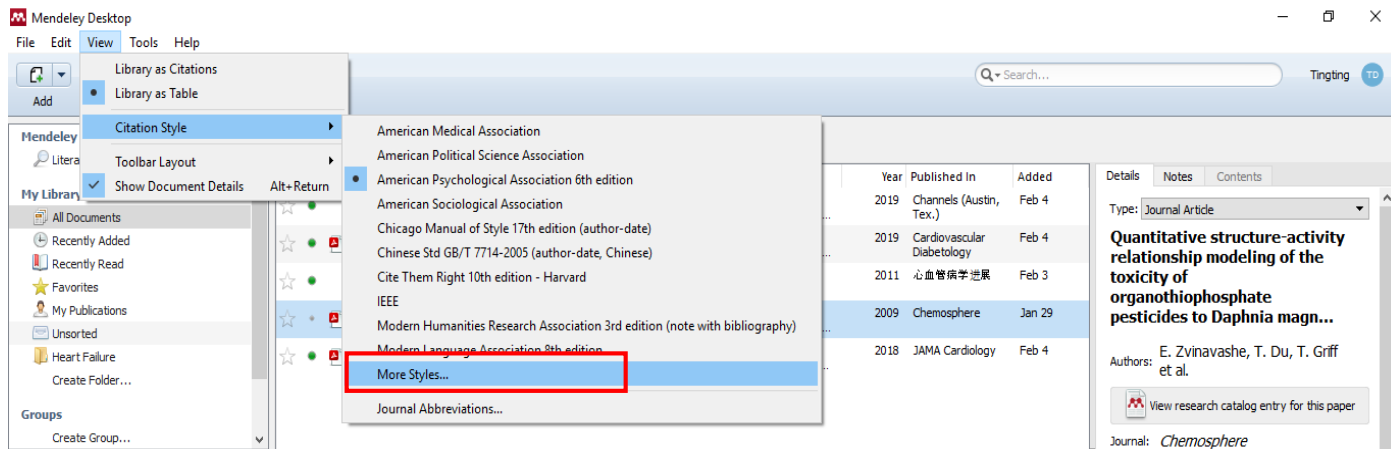
- [1] D. W. Eaton and R. Schultz, "Increased likelihood of induced seismicity in highly overpressured shale formations," *Geophys. J. Int.*, May 2018.

轻松管理文献写作

参考文献管理 - 用Mendeley在Word插入参考文献

5. 如果需要的引用及参考文献格式在Style中没有，可以在桌面版中查找并安装

View – Citation Style – More Styles



The screenshot displays the Mendeley Desktop interface. The 'View' menu is open, and the 'Citation Style' option is selected, which has opened a sub-menu. In this sub-menu, the 'More Styles...' option is highlighted with a red rectangular box. The background shows a list of documents with columns for Year, Published In, and Added. A details panel on the right shows information for a journal article titled 'Quantitative structure-activity relationship modeling of the toxicity of organothiophosphate pesticides to Daphnia magn...'. The authors listed are E. Zvinavashe, T. Du, and T. Griff et al. The journal is identified as 'Chemosphere'.

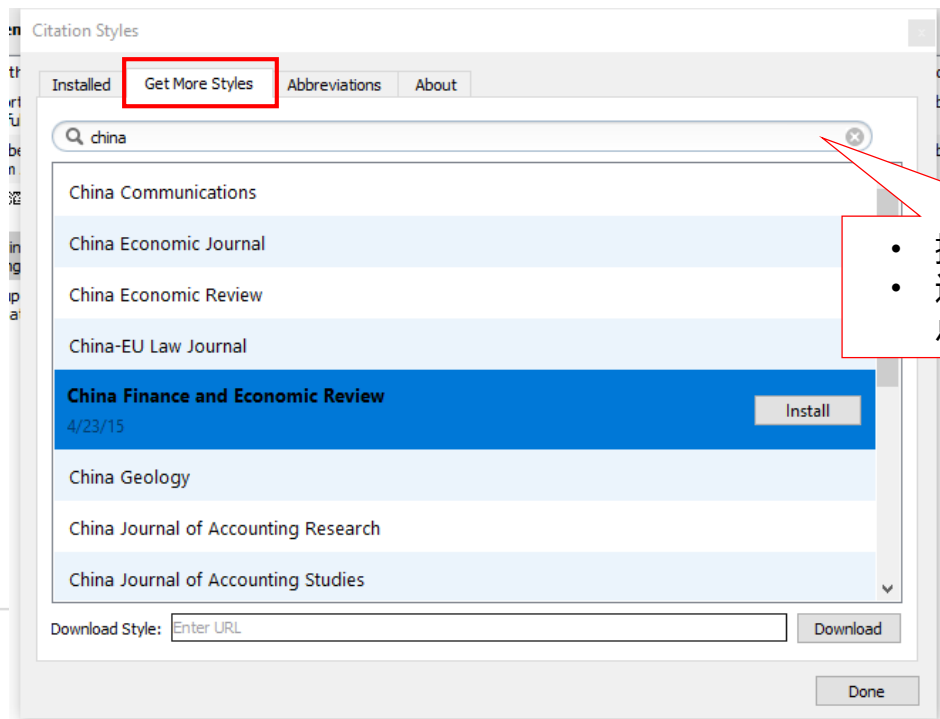
| Year | Published In | Added |
|------|----------------------------|--------|
| 2019 | Channels (Austin, Tex.) | Feb 4 |
| 2019 | Cardiovascular Diabetology | Feb 4 |
| 2011 | 心血管病学进展 | Feb 3 |
| 2009 | Chemosphere | Jan 29 |
| 2018 | JAMA Cardiology | Feb 4 |

Details Panel:
Type: Journal Article
Title: Quantitative structure-activity relationship modeling of the toxicity of organothiophosphate pesticides to Daphnia magn...
Authors: E. Zvinavashe, T. Du, T. Griff et al.
Journal: Chemosphere

轻松管理文献写作

参考文献管理 - 用Mendeley在Word插入参考文献

6. 在Get More Styles中查找需要的引用及参考文献格式并安装

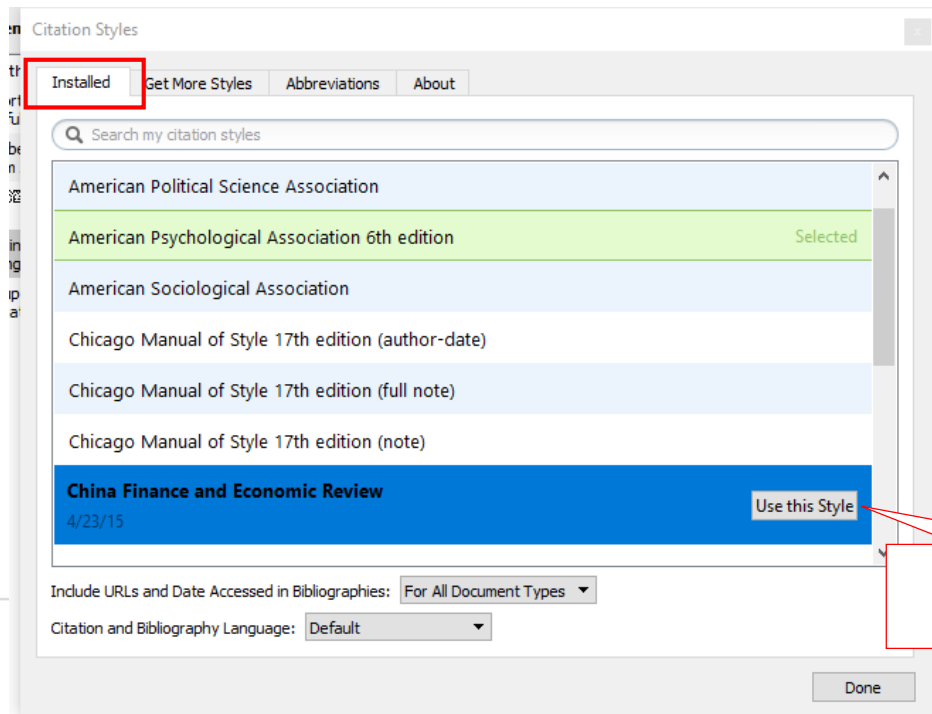


- 搜索相关的期刊或标准
- 选择好需要的格式后, 点击安装

轻松管理文献写作

参考文献管理 - 用Mendeley在Word插入参考文献

7. 已安装的引用及参考文献格式在Installed中显示



- 不同格式切换使用

轻松管理文献写作

参考文献管理 - 文献管理

The screenshot shows the Mendeley Desktop application window. The interface includes a menu bar (File, Edit, View, Tools, Help), a toolbar with icons for adding files, folders, and syncing, and a search bar. The main area is divided into three panes: 'My Library' on the left, a central list of documents, and a 'Details' pane on the right. The 'My Library' pane shows a tree view with folders like 'All Documents', 'Recently Added', 'Recently Read', 'Favorites', 'My Publications', 'Unsorted', 'Heart Failure', and 'Rural Migrants'. A red box highlights the 'Create Folder...' option. The central list shows a table of documents with columns for Authors and Title. A red box highlights the 'Edit Settings' button above the list. The 'Details' pane shows information for a selected document, including Type (Journal Article), Title, Authors, Journal, Year, Volume, Issue, Pages, and Abstract. A red box highlights the entire 'Details' pane. Three callout boxes with red borders and arrows point to specific features: one points to the 'Edit Settings' button, another points to the 'Create Folder...' option, and a third points to the 'Tags:' field in the 'Details' pane.

• 可对文献信息进行修改

• 创建文件夹对文献进行分组管理

• 为文献添加标签

轻松管理文献写作

参考文献管理 – 文献管理

对文献列表中文献进行搜索

The screenshot displays the Mendeley Desktop application window. The interface includes a menu bar (File, Edit, View, Tools, Help), a toolbar with icons for adding, organizing, and syncing documents, and a sidebar on the left for library management. The main area shows a list of documents with columns for Authors, Title, Year, Published In, and Added. A search bar is located at the top right, and a filter dropdown menu is open on the left side of the document list.

• 利用搜索栏直接搜索

• 使用Filter利用作者、关键字、标签及文献名称筛选文献

| ★ | 📁 | Authors | Title | Year | Published In | Added |
|---|---|--|--|------|----------------------------|--------|
| ☆ | ● | Horton, J.S.; Shiraishi, T.; Alfulaj, N.; Small-Howard, A... | TRPV1 is a component of the atrial natriuretic signaling complex, and using orally delivered antagonists, presents... | 2019 | Channels (Austin, Tex.) | Feb 4 |
| ☆ | ● | Gilbert, Richard E.; Connelly, Kim A. | Reduction in the incidence of myocardial infarction with sodium-glucose linked cotransporter-2 inhibitors: evident ... | 2019 | Cardiovascular Diabetology | Feb 4 |
| ☆ | ● | 郑滔 | 胱抑素C与心力衰竭关系的研究进展 | 2011 | 心血管病学进展 | Feb 3 |
| ☆ | ● | Zvinavashe, Elton; Du, Tingting; Griff, Tamas; Berg... | Quantitative structure-activity relationship modeling of the toxicity of organothiophosphate pesticides to Daphnia ma... | 2009 | Chemosphere | Jan 29 |
| ☆ | ● | Gupta, Ankur; Allen, Larry A.; Bhatt, Deepak L.; Cox, Mar... | Association of the hospital readmissions reduction program implementation with readmission and mortality outcomes... | 2018 | JAMA Cardiology | Feb 4 |

轻松管理文献写作

参考文献管理 - 使用iOS应用程序移动阅读论文

The screenshot shows the Mendeley Desktop application window. The top menu bar includes File, Edit, View, Tools, and Help. Below the menu is a toolbar with icons for Add, Folders, Related, Sync, and Help, along with a search bar and a user profile icon for Tingting. The main area is divided into three panes. The left pane, titled 'My Library', contains a list of folders such as 'All Documents', 'Recently Added', 'Recently Read', 'Favorites', 'My Publications', 'Unsorted', 'Heart Failure', and 'Rural Migrants'. Below this is a 'Filter by Authors' section with a list of names including Allen, Berg, Bhatt, Cox, Cui, Deng, DeVore, Du, Eaton, Fonarow, and Gupta. The middle pane, titled 'All Documents', displays a table of document entries. The table has columns for 'Authors' and 'Title'. The entry for 'Eaton, David W; Schultz, Ryan' is highlighted in grey and has a red box around its icon, which includes a PDF symbol. A red arrow points from this box to a text box at the bottom. The right pane shows the details of the selected document, including its title 'Increased likelihood of induced seismicity in highly overpressured shale formations', authors 'D. Eaton, R. Schultz', journal 'Geophysical Journal International', and year '2018'. There are tabs for 'Details', 'Notes', and 'Contents' at the top of this pane.

| ★ | ● | 📄 | Authors | Title |
|---|---|---|--|--|
| ☆ | ● | | 李晓洁; 刘奕 | 新生代农民工社会融合对策研究 |
| ☆ | ● | 📄 | Deng, Xiaohong; Gong, Lei; Gao, Yanfang; Cui, Xiaoqing... | Internal Differentiation within the Rural Migrant Population from the Sustainable Urban Development Perspective: Ev... |
| ☆ | ● | | 刘滔 | 脐抑素C与心力衰竭关系的研究进展 |
| ☆ | ● | | Eaton, David W; Schultz, Ryan | Increased likelihood of induced seismicity in highly overpressured shale formations |
| ☆ | ● | 📄 | Niu, Geng; Zhao, Guochang | Religion and trust in strangers among China's rural-urban migrants |
| ☆ | ● | 📄 | Zvinavashe, Elton; Du, Tingting; Griff, Tamas; Berg... | Quantitative structure-activity relationship modeling of the toxicity of organothiophosphate pesticides to Daphnia ma... |
| ☆ | ● | 📄 | Gupta, Ankur; Allen, Larry A.; Bhatt, Deepak L.; Cox, Mar... | Association of the hospital readmissions reduction program implementation with readmission and mortality outcomes... |

- 将全文pdf导入Mendeley
- 带有全文的文献前标有pdf标志
- 双击带有全文的文献即可打开全文阅读

轻松管理文献写作

参考文献管理 - 使用iOS应用程序移动阅读论文

- 点击Note在全文中添加注解
- 在文中需添加注解处点击后，进行记录
- 在右侧边栏中Notes处可以记录针对整篇文章的注解

The screenshot displays the Mendely Desktop application window. The top menu bar includes 'File', 'Edit', 'View', 'Go', 'Tools', and 'Help'. Below the menu is a toolbar with icons for 'Select', 'Pan', 'Note', 'Add Note', 'Color', 'Zoom', 'Zoom To Fit', 'Fullscreen', 'Sync', and 'Help'. The 'Note' icon is highlighted with a red box. The main content area shows a document page from 'Geophysical Journal International' with the title 'Increased likelihood of induced seismicity in highly overpressured shale formations' by David W. Eaton and Ryan Schultz. The right sidebar contains a 'Notes' section with a 'GENERAL NOTES' text area, also highlighted with a red box. Below the notes area, there is a message: 'Use the **highlight** and **note** tools to create annotations. Any annotations you create in Mendely Desktop will be available on Mendely for iOS, Android and Web'. The bottom left corner features the Elsevier logo.

轻松管理文献写作

参考文献管理 - 使用iOS应用程序移动阅读论文

The screenshot displays the Mendeley Desktop application interface. The top menu bar includes 'File', 'Edit', 'View', 'Go', 'Tools', and 'Help'. Below the menu is a toolbar with icons for 'Select', 'Pan', 'Note', 'Highlight', 'Color', 'Zoom', 'Zoom To Fit', 'Fullscreen', 'Sync', and 'Help'. A search bar on the right contains the text 'Tingting TD'. The main window shows a document with two columns of text. A red box highlights a speech bubble icon in the right margin. A yellow annotation box is overlaid on the text, containing the text '与中国地形的相似之处?' and the name 'Tingting Du' with a 'Just now' timestamp. On the right side, a sidebar is open, showing 'GENERAL NOTES' and 'PRIVATE ANNOTATIONS' sections. A red box highlights the 'PRIVATE ANNOTATIONS' section, which contains the same text as the yellow annotation box. A red speech bubble points to the sidebar with the text '在全文中添加注解也会在右侧边栏中显示'. The bottom left corner features the Elsevier logo and the text '752 D. W. Eaton and R. Schultz'. The bottom right corner shows the page number '751'.

File Edit View Go Tools Help

Select Pan Note Highlight Color Zoom Zoom To Fit Fullscreen Sync Help

My Library Increased likelihood of ...

where rates of thermogenic gas accumulation exceed loss from the formation (Law & Dickinson 1985; Hansom & Lee 2005). From a resource-exploitation perspective, overpressure can be beneficial; more fluid stored in the formation reduces the work required to stimulate hydraulic fractures (Wang & Gale 2009). Consequently, the most prolific parts of a fairway often coincide with areas of highest overpressure (Cander 2012).

2 DATA AND M

Two major resource fairways in the Permian Basin are considered in terms of their similarity to hydraulic fractures (Mahani *et al.* 2017; Schulz *et al.* 2017). The formation is an extensive sequence of sandstones ranging from shallow-water shoreface sands to offshore marine muds (Dixon 2000). Reservoir rocks within this trend consist of interbedded shale, siltstone and sandstone layers. Approximately 5500 multistage hydraulically fractured (MSHF) horizontal wells have been completed in the Montney Formation (Fig. 1a). The De-

logona user on 20 March

TD Tingting Du Just now

与中国地形的相似之处?

TD Tingting Du Just now

与中国地形的相似之处?

© The Author(s) 2018. Published by Oxford University Press on behalf of The Royal Astronomical Society. 751

752 D. W. Eaton and R. Schultz

ELSEVIER

- 在全文中添加注解也会在右侧边栏中显示

轻松管理文献写作

参考文献管理 - 使用iOS应用程序移动阅读论文

- 还有高光及颜色可以用来对文献进行标注及对不同的注解进行分类
- 利用Sync按钮队文章中的标注进行同步，保证阅读的同步性

The screenshot displays the Mendeley Desktop application window. The top menu bar includes 'File', 'Edit', 'View', 'Go', 'Tools', and 'Help'. Below the menu is a toolbar with icons for 'Select', 'Pan', 'Note', 'Highlight', 'Zoom To Fit', 'Fullscreen', 'Sync', and 'Help'. A 'Highlight' dropdown menu is open, showing color options: Yellow, Green, Blue, Purple, Pink, Red, Orange, and Grey. The main document area shows a PDF with text and a yellow highlight. A 'Sync' button is highlighted with a red box. A red callout box points to the 'Sync' button with the text: '还有高光及颜色可以用来对文献进行标注及对不同的注解进行分类' and '利用Sync按钮队文章中的标注进行同步，保证阅读的同步性'. On the right side, there is a 'Details' panel with 'Notes' and 'Contents' tabs. The 'Notes' tab is active, showing 'GENERAL NOTES' and 'PRIVATE ANNOTATIONS'. A note is visible: '与中国地形的相似之处?' with a yellow highlight and a trash icon. The bottom of the window shows the page number '751' and the footer text: '© The Author(s) 2018. Published by Oxford University Press on behalf of The Royal Astronomical Society.'

轻松管理文献写作

参考文献管理 - 使用iOS应用程序移动阅读论文

- 选择SD文献详情页面Export下的Save to Mendeley
- 同时导入文献及全文pdf
- 导入完成后点击Save保存

Short communication Full text access

Predicting changes in induced seismicity on the basis of estimated rock mass energy states

International Journal of Rock Mechanics and Mining Sciences, Volume 95, May 2017, Pages 79-86

Piotr Bańka, Andrzej Chmiela, Marta Menéndez Fernández, Zulima Fernández Muñiz, Antonio Bernardo Sanchez

 Download PDF [Abstract](#) [Export](#)



ScienceDirect

Journals &

 Download PDF [Share](#) [Export](#)

Outline

Keywords

1. Introduction
2. Proposed method using the relationship between...
3. General description of the area studied
4. Correlations between energy expenditure in tr...
5. Conclusion

Acknowledgements
ELSEVIER

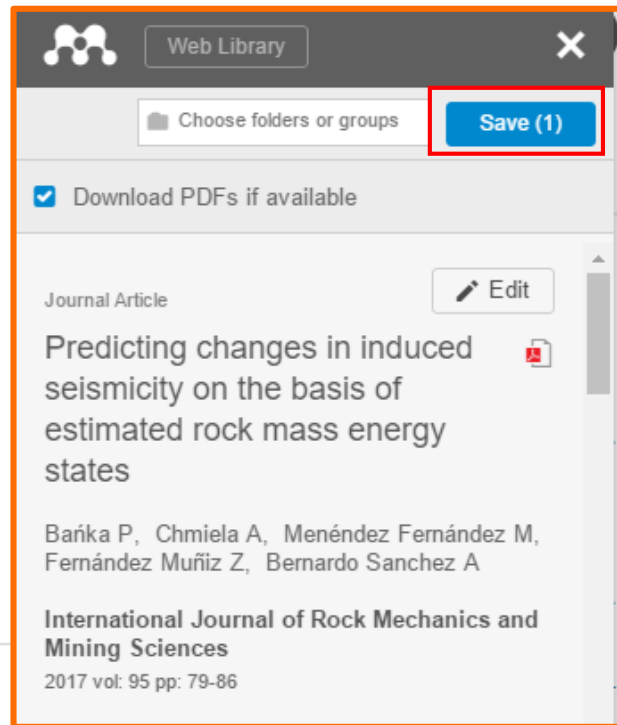


International Journal of Rock Mechanics and Mining Sciences

Volume 95

Predicting changes in induced seismicity on the basis of estimated rock mass energy states

- > Save to Mendeley
- > Save to Refworks
- > Export citation to RIS
- > Export citation to EndNote
- > Export citation to text



Web Library

Choose folders or groups **Save (1)**

Download PDFs if available

Journal Article [Edit](#)

Predicting changes in induced seismicity on the basis of estimated rock mass energy states

Bańka P, Chmiela A, Menéndez Fernández M, Fernández Muñiz Z, Bernardo Sanchez A

International Journal of Rock Mechanics and Mining Sciences

2017 vol: 95 pp: 79-86



附录2

Elsevier Researcher Academy

Elsevier Researcher Academy

- 一个完全免费的在线学习平台
- 旨在帮助处于早期和中期阶段的研究人员开发自身的潜力
- 与SD、Scopus等Elsevier产品共享账号

Researcher Academy

Learn

Career path

Blog

Tingting Du



Unlock your research potential

Navigate your research journey with Researcher Academy. Free e-learning modules developed by global experts. Career guidance and advice. Research news on our blog.

Start learning >

RESEARCH
PREPARATION



WRITING
FOR RESEARCH



PUBLICATION
PROCESS



NAVIGATING
PEER REVIEW



COMMUNICATING
YOUR RESEARCH



Elsevier Researcher Academy

您将了解:

- 如何获得基金资助和管理研究数据
 - 如何提高写作技巧
 - 如何在高影响因素的期刊上发表研究论文
 - 如何有效地评论一篇文章
 - 如何回应评论者的评论
 - 如何沟通你的工作来提高你的研究的影响并帮助你获得引用
 - 如何有策略地规划你的职业生涯
 - 如何在产业界和学术界中找工作
 - 如何应对研究人员的繁忙生活
-
- etc.

Elsevier Researcher Academy

Learn

Researcher Academy provides free access to countless e-learning resources designed to support researchers on every step of their research journey. Browse our extensive module catalogue to uncover a world of knowledge, and earn certificates and rewards as you progress.



TECHNICAL WRITING SKILLS
How to write case reports
Register Now 28 FEB

Research cycle Content library

RESEARCH PREPARATION WRITING FOR RESEARCH PUBLICATION PROCESS NAVIGATING PEER REVIEW COMMUNICATING YOUR RESEARCH

- > Funding
- > Research data management
- > Research collaborations
- > Fundamentals of manuscript preparation
- > Writing skills
- > Technical writing skills
- > Book writing
- > Fundamentals of publishing
- > Finding the right journal
- > Ethics
- > Open science
- > Publishing in the Sciences
- > Fundamentals of peer review
- > Becoming a peer reviewer
- > Social impact
- > Ensuring visibility

Funding

What you will learn

- Advice from experts on funding
- Guidance on writing a great application
- An introduction to metrics

+ Read More

TOTAL TIME: 2+ hours COMPLETE: 1/3 LANGUAGE: English

3 modules

- FUNDING** 1h
Funding Hacks for Researchers
Top tips from the people who really understand what it takes to write a successful grant application.
- FUNDING** 40m
Successful research grant applications – getting it right
Our useful step by step guide to preparing a grant application can help you tick all the boxes first time.
- FUNDING** 38m
Discover how metrics can boost funding and networking opportunities
A comprehensive guide to scholarly metrics and practical tips to help you leverage them when building networks or applying for funding.

Start Learning >

Elsevier Researcher Academy

Researcher Academy

Learn

Career path

Blog

Tingting Du



Career path

A career in research can take many twists and turns. Whether you decide to stay in academia or move onto industry, Researcher Academy's career resources will help you plan accordingly. Browse the different career sections for sound practical advice to tackle your future.



Career planning

Job search

Career guidance

Career planning

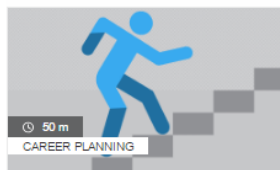
Being an effective researcher requires method and order, and those strong organization skills can prove just as useful when it comes to mapping out your career.

What you will find

- Guidance on strategic career planning
- What industry employers think of PhDs
- Help with choosing a field of study

[+ Read more](#)

2 modules



Make a career in research



The right choice of study



h 指数

h 图是显示和比较学者的产出以及所发表著作的影响的一种方式。 h 指数是所使用的由 [J. E. Hirsch](#) 发明的方法。

h 指数的确定标准如下：所包含的论文中有 X 篇的被引次数大于或等于这个 X 值。该图显示 45 度线，其中模拟发表文章和被引之间的 1:1 关系。该图标出作者的出版历史，按照从最高到最低被引次数的出版物的顺序。

下载PDF

要下载文献的 PDF 版本，您需要使用 Scopus 文献下载管理器 (DDM)。

文献下载管理器可以从 Scopus 文献结果列表和文献详情页面访问，也可以通过 Google Chrome 或 Mozilla Firefox 浏览器访问。

请注意：在查看 Scopus 中的一些参考文献时，“下载”链接不可用。无法下载文献全文可能是由于您的 IP 地址和机构环境受限。

Scopus 非搜索用词

共计100+停用词

人称代词（例如 *we*、*they*）

大多数冠词（例如 *the*、*an*）

连系动词的大部分形式（例如 *be*、*being*、*is*、*was*）

一些连词（例如 *as*、*because*、*if*、*when*）



ELSEVIER

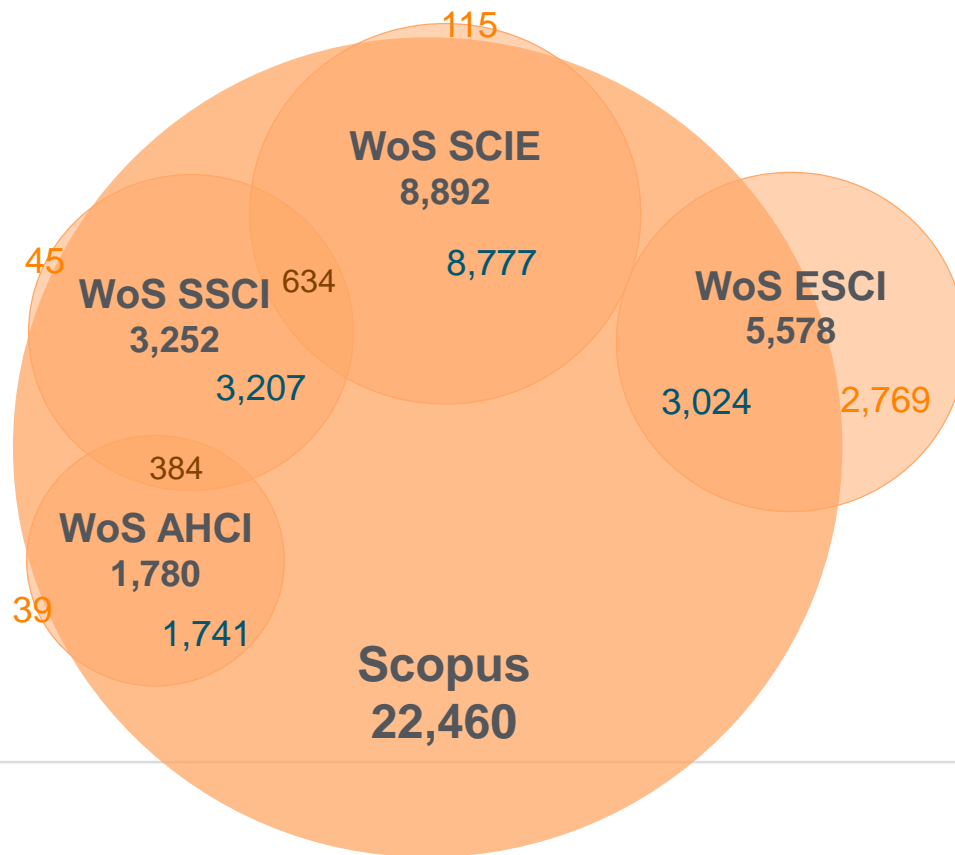
科学、技术和医学信息
及解决方案的提供者

科学 & 技术 (S&T)



ELSEVIER

Scopus V.S. WOS



Scopus vs WOS

Scopus vs WOS as scientific evaluation tools: A comparative analysis based on a testing sample search on the topic of electric vehicles^①

WANG Na, PAN Yuntao, MA Zheng & WU Yishan*

Institute of Scientific & Technical Information of China, Beijing 100038, China

Chinese Journal of Library and Information Science, 2010, 01 : 20-34

Scopus vs WOS

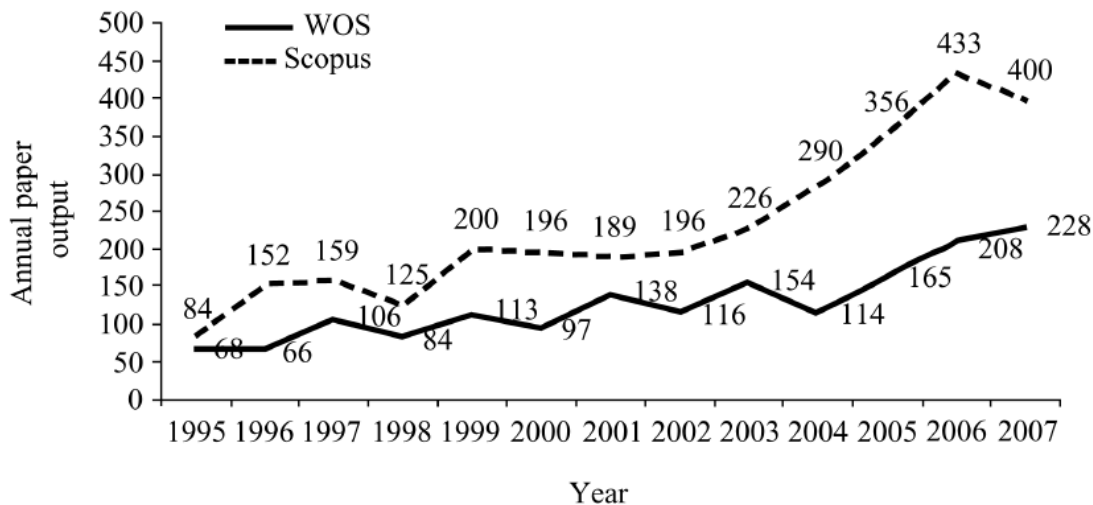


Fig. 1 Annual paper output according to WOS and Scopus (1995–2007).

Scopus vs WOS

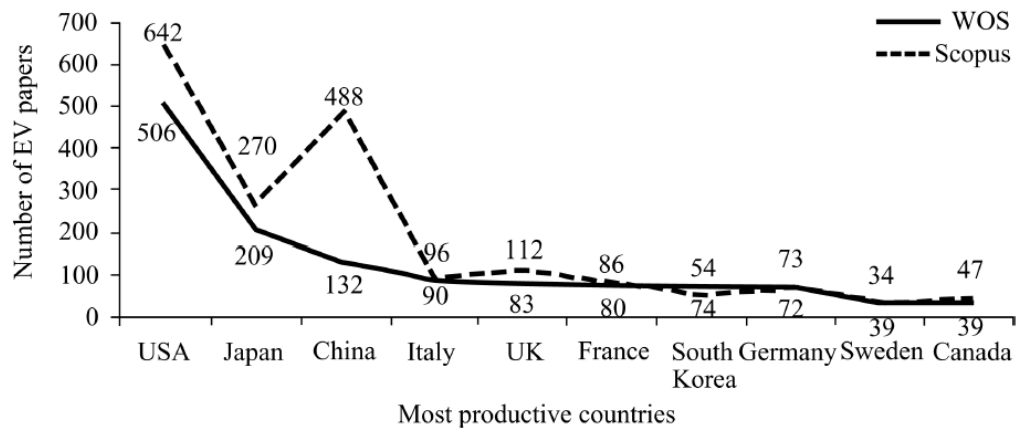
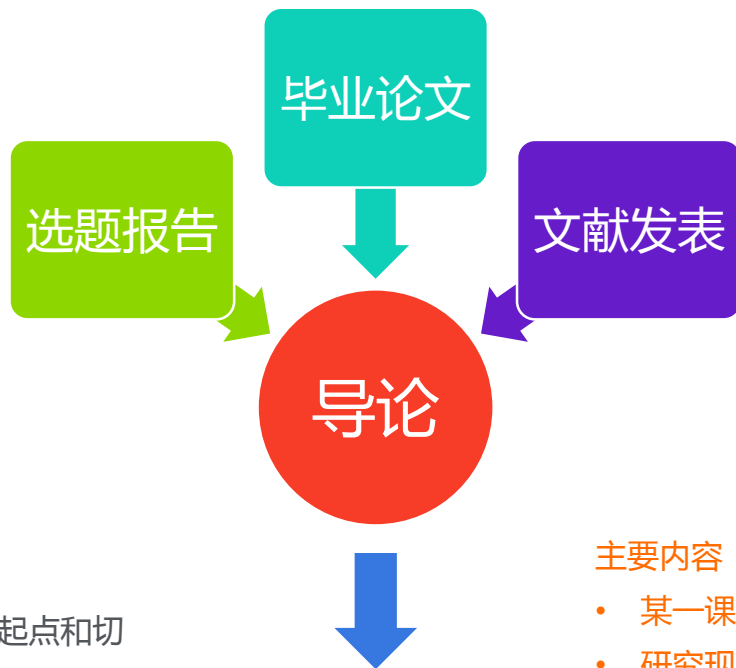


Fig. 2 Top 10 most productive countries/regions of EV paper publications (1995–2007).

基于Scopus高效选题和开题



意义：

- 确定研究方向
- 便于他人了解该课题研究的起点和切入点
- 展示在他人研究基础上的创新点

主要内容：

- 某一课题研究的历史 (寻求研究问题的发展历程)
- 研究现状 (已解决的问题，寻求认识的进步)
- 研究方法的分析 (寻求研究方法的借鉴)
- 尚存的问题
- 研究的创新性